



# Quality of life in patients with head and neck cancer : impact of prosthetic rehabilitation

F. Silvestri<sup>1</sup>, B. Saliba-Serre, V. Graillon, N. Fakhry, M. Ruquet, G. Maille

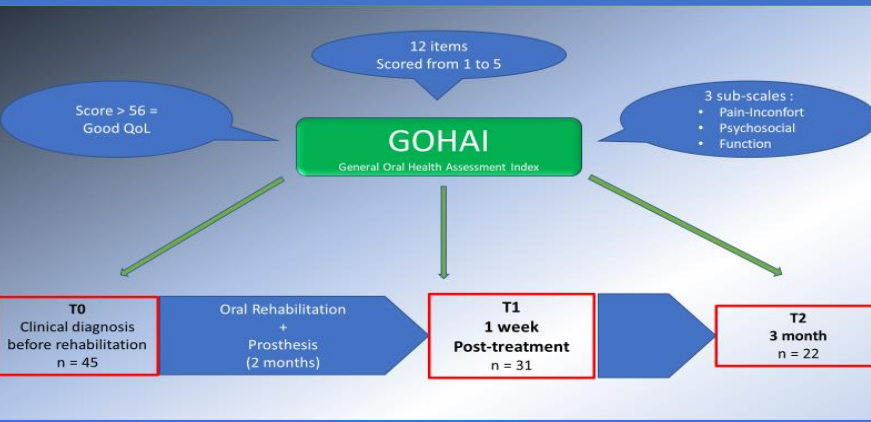
<sup>1</sup> ADES, CNRS, EFS

Oral quality of life<sup>1</sup> is of great importance in head and neck cancer, the remaining lifetime of patients in their care. Head and neck cancers involve a functional crossroads and have a fundamental impact on patients where each patient combines functional, social and esthetic needs. In the context of cancer, multidisciplinary teams pay attention to the quality of life of patients' perceived quality of life. Prostheses are of great value in the early post-surgical stages. Several authors have described the improvement of quality of life through functional improvement. Few studies have observed the true impact of the components of oral quality of life (pain and discomfort, psychosocial aspect, functional aspect) and their change over time. Our study aimed to evaluate the influence of prosthetic and/or maxillofacial rehabilitation on patients' perceived oral quality of life.

- **Objectives**
- Highlight changes in oral quality of life in specific timepoints
- Could prosthetic rehabilitation lead changes in oral quality of life?
- What extent its different components were affected ?

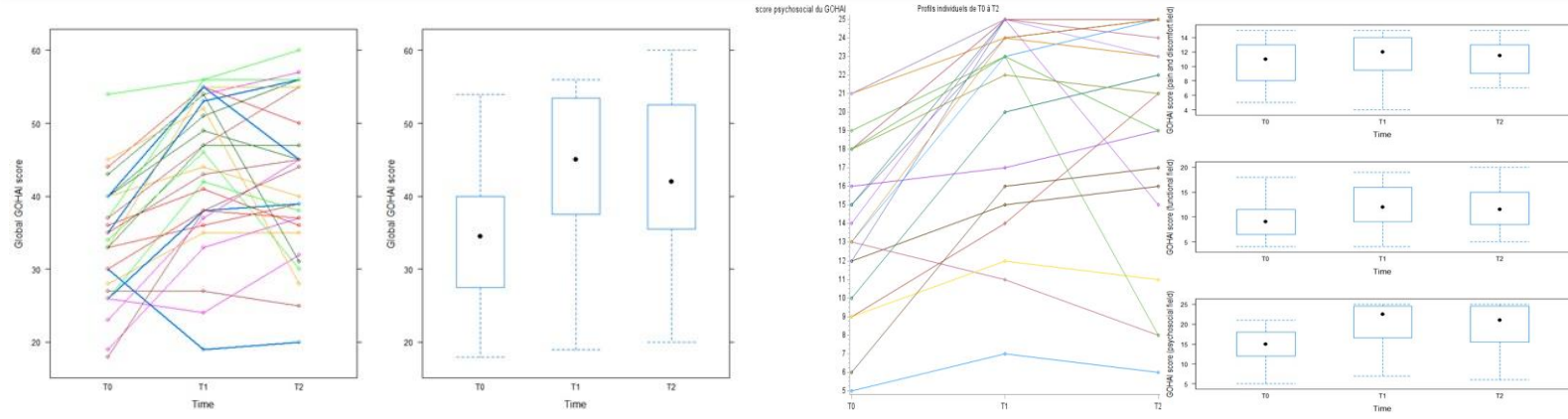
## Materials and methods

- Inclusion criteria:
  - Patient with head and neck cancer
  - Radiotherapy
  - Diagnosis of prosthetic rehabilitation
- Sample size : T0 n=45, T1 n=31, T2 n=22
- Standardized quality of life assessment questionnaire (GOHAI)<sup>2</sup>



- Increase of overall score between T0 and T1: poor QoL 96.43% at T0 timepoint / 64.29% at T1 timepoint
- Increase of psychosocial and functional subscales between T0 and T1 timepoints
- No significant difference in psychosocial and functional subscale between T1 and T2 timepoints
- No significant difference in pain-discomfort at each timepoint

## Results



## Discussion

- Immediate influence of prosthetic rehabilitation on the psychosocial and functional components scores → probable link with aesthetic contribution and social relationships
- Weak impact of prosthetic rehabilitation on pain-discomfort subscale: persistent pain several months after radiotherapy
- Interpretation bias caused by the difficulty in exploiting several important influencing factors of oral quality of life (gender, type of excisional surgery...)<sup>3</sup>
- Sample size needs to be increased

A 3-month follow up showed positive impact on oral quality of life in irradiated patients. A 1-year follow-up seems to be interesting to limit bias. In order to refine our results, this study will be supplemented by cross-referencing of data collected from several specific questionnaires used in oncology (GOHAI, European Organization for Research and Treatment of Cancer QLQ-C30 and the H&N35 module<sup>4</sup>). By taking into account other influencing factors, adaptation of the individual to disability could be assessed in a more specific way.

1.Petersen PE, WHO Oral Health Programme. The world oral health report 2003: continuous improvement of oral health in the 21st century - the approach of the WHO Global Oral Health Programme. Geneva: World Health Organization; 2003

2.Tubert-Jeannin S, Riordan PJ, Morel-Papernot A, Porcheray S, Saby-Collet S. Validation of an oral health quality of life index (GOHAI) in France. Community Dent Oral Epidemiol 2003;31:275-84

3.Morimoto J, Otomaru T, Murase M, Haraguchi M, Sumita Y, Taniguchi H. Investigation of factor affecting health-related quality of life in head and neck cancer patients. Gerodontology. 2013 Sep;30(3):194-200

4.Bjordal K, Hammerlid E, Ahlner-Elmqvist M, de Graeff A, Boysen M, Evensen JF et al. 1999. Quality of life in head and neck cancer patients: validation of the European Organization for Research and Treatment of Cancer Quality of Life Questionnaire-H&N35. J Clin Oncol 1999;17:1008-19

# Influence de l'information et de la modification de comportements de santé sur le Développement Post Traumatique Positif après un cancer

C. EVANS<sup>12</sup>, B. SALIBA-SERRE<sup>245</sup>, S.COLSON<sup>16</sup>, K. BENDIANE<sup>3</sup>, M. PREAU<sup>7</sup>, M. SIGNOLI<sup>124</sup> A.D BOUHNIK<sup>3</sup>

(1)Aix-Marseille Univ, (2)UMR 7268 ADES, (3)SESTIM, (4) CNRS, (5) EFS, (6) CeRES Marseille, (7) Université Lumière Lyon 2GRePS

Email : catherine.evans@univ-amu.fr



## INTRODUCTION

L'OMS (WHO, 2020) dénombre 18,1 Millions de nouveaux cas de cancer dans le monde en 2018 et prévoit qu'1 personne sur 5 développera un cancer avant ses 75 ans. En France, selon l'INCa près de 400 000 personnes sont diagnostiquées d'un cancer chaque année, 62% survivent au-delà de 5 ans (3,8 millions de personnes en 2018). Les conséquences à long terme de la maladie sont aujourd'hui mieux connues. Cependant une attention doit être portée à cette population de survivants, à cette étape particulière du « vivre après un cancer » (Mayer et al., 2017) où la majorité déclare toujours subir les conséquences de la maladie. Certains survivants considèrent « l'après cancer » comme le départ d'une nouvelle vie et mettent en place un processus d'adaptation appelé Développement Post-Traumatique (DPT) mesuré par l'échelle PTGI (Post Traumatic Growth Inventory), développée par Tedeschi et Calhoun (Tedeschi & Calhoun, 1996).

## OBJECTIF ET METHODE

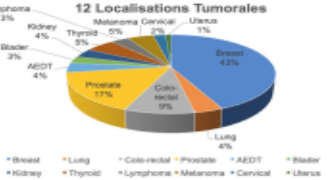
L'objectif de ce travail est de déterminer les facteurs associés au DPT. Nous nous sommes centrés sur les facteurs modifiables comme les comportements de santé ou des facteurs pouvant être associés à des interventions et pouvant faire l'objet d'une intégration dans un programme de suivi après l'expérience du cancer.

Notre étude porte sur les 1982 individus de la cohorte VICAN menée par l'INCa, ayant répondu aux 2 enquêtes, 2 et 5 ans après le diagnostic de cancer. Le score a été mesuré à 5 ans à l'aide de l'échelle PTGI. La recherche des caractéristiques associées à un DPT modéré ou élevé (score DPT  $\geq 63$  (Wu et al., 2019)) a été menée à l'aide d'une régression logistique multiple.

## Échelle PTGI

Possible Areas of Growth and Change	0	1	2	3	4	5
1. I changed my priorities about what is important in life						
2. I have a greater appreciation for the value of my own life						
3. I developed new interests						
4. I have a greater feeling of self-reliance						
5. I have a better understanding of spiritual matters						
6. I more clearly see that I can count on people in times of trouble						
7. I established a new path for my life						
8. I have a greater sense of closeness with others						
9. I am more willing to express my feelings						
10. I have a better understanding of my own capabilities						
11. I am able to do better things with my life						
12. I am better able to accept the way things work out						
13. I can better appreciate each day						
14. New opportunities are available which wouldn't have been available before						
15. I have more compassion for others						
16. I put more effort into my relationships						
17. I am more likely to try to change things which need changing						
18. I have a stronger religious faith						
19. I discovered that I'm stronger than I thought I was						
20. I learned a great deal about how wonderful people are						
21. I better accept needing others						

- 0 = I did not experience this change as a result of my crisis.  
 1 = I experienced this change to a very small degree as a result of my crisis.  
 2 = I experienced this change to a small degree as a result of my crisis.  
 3 = I experienced this change to a moderate degree as a result of my crisis.  
 4 = I experienced this change to a great degree as a result of my crisis.  
 5 = I experienced this change to a very great degree as a result of my crisis.



Plus d'une personne sur 3 présente un DPT modéré ou élevé



Variables	Homme	OR ajusté[95% CI]	p
Sexe	Homme Femme	1 1,29 [1,00;1,66]	0,052
Age au diagnostic	18-40 ans 41-50 ans 51-62 ans $\geq 63$ ans	1 0,96 [0,70;1,32] 0,73 [0,51;1,04] 0,55 [0,37;0,80]	0,792 0,084 0,002
Niveau d'études	< Baccalauréat Baccalauréat et plus	1 0,82 [0,65;1,02]	0,084
Fatigue significative*	Non Oui	1 1,50 [1,18;1,91]	<0,001
Troubles dépressifs suspectés ou certains*	Non Oui	1 0,25 [0,17;0,37]	<0,001
Satisfaction du temps passé à l'information **	mitigé insatisfait satisfait	1 1,31 [0,90;1,90] 1,53 [1,15;2,03]	0,152 0,003
A bénéficié d'un soutien psychologique ***	Non Oui	1 1,53 [1,16;2,01]	0,002
Changement alimentaire* ***	Non Oui, pour une alimentation plus saine Oui, pour une autre raison	1 1,85 [1,45;2,36] 0,85 [0,54;1,32]	<0,001 0,464
Hausse de l'activité physique * ***	Non Oui	1 1,42 [1,04;1,95]	0,030

\* 5 ans après le diagnostic  
 \*\* collecté 2 ans après le diagnostic  
 \*\*\* depuis le diagnostic

## RESULTATS

Toutes choses égales par ailleurs :

- **facteurs non modifiables** : le fait d'être une femme tend à être associé à un DPT modéré ou élevé et sont négativement associé à un DPT modéré ou élevé l'âge  $\geq 63$  ans et la présence de troubles dépressifs.

- **facteurs modifiables** : sont positivement associés à un DPT modéré ou élevé : une perception positive du temps passé à l'information, avoir bénéficié d'un soutien psychologique, une hausse de l'activité physique et un changement pour une alimentation plus saine.

## DISCUSSION ET CONCLUSION

- Le DPT conséquence positive du cancer, bénéficie aux survivants du cancer en traduisant un processus émotionnel ou un développement cognitif, par un changement pour des comportements positifs (Morris et al., 2012).

- Il semblerait qu'après un cancer des conseils concernant l'hygiène de vie auraient leur place et notamment dans le besoin des individus d'optimiser leur alimentation (Mourouti et al., 2017). La pratique d'une activité physique semble être un catalyseur du DPT.

- Le qualité de l'information est un facteur qui est souvent rapporté (Kent et al., 2012) comme favorisant l'empowerment des survivants .

- Un programme de soutien psychologique proposé aux survivants du cancer (Üzar-Özçetin & Hiçdurmaz, 2019) améliorerait de façon significative les niveaux de DPT.

- Nos résultats suggèrent des considérations clés pour le développement et l'implantation de futures interventions destinées à promouvoir le DPT.



# Variabilité des densités osseuses de la zone pré-sinusienne chez l'édenté complet

C. Mansuy<sup>1-2-3</sup>, B. Saliba-Serre<sup>1</sup>, O. Hüe<sup>2</sup>, P. Tavitian<sup>1-2-3</sup>, M. Ruquet<sup>1-2-3</sup>

<sup>1</sup> Aix Marseille Univ, CNRS, EFS, UMR 7268 ADES, Faculté médecine Nord, 13344 Marseille, France,

<sup>2</sup> Aix Marseille Univ, Faculté de sciences médicales et paramédicales, Ecole de médecine dentaire,  
13005 Marseille, France

<sup>3</sup> APHM, Service de réhabilitation orale, Pôle Odontologie, Hôpital de la Timone, 13005 Marseille,  
France

## INTRODUCTION / CONTEXTE

L'édentement est lié à l'âge, mais varie aussi selon l'origine géographique<sup>[1]</sup>.

Intérêt de l'étude de la variabilité osseuse du pré-maxillaire :

- En anthropologie du vivant : modifications de la structure et de morphologie osseuse en fonction du vieillissement, du mode de vie
- En odontologie : réhabilitation implantaire de l'édenté complet maxillaire

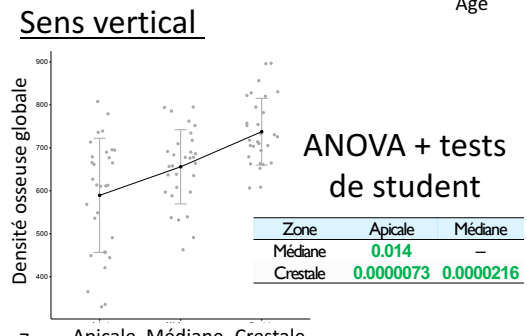
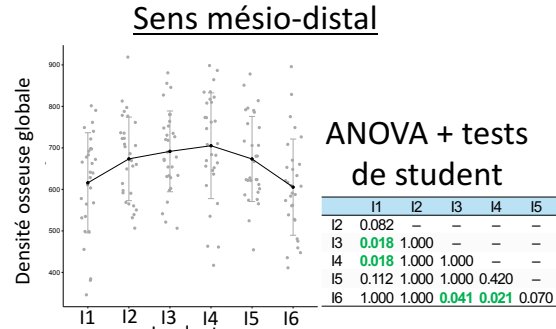
**Objectif :** Evaluer la **variabilité** de la structure interne (densité osseuse) de l'os pré-maxillaire à partir d'**examens radiographiques tridimensionnels** de patients édentés complets au maxillaire : Variabilité inter-individuelle (âge, sexe) et intra-populationnelle (sens vestibulo-palatin, mésio-distal et vertical)

## RESULTATS

### VARIABILITÉ INDIVIDUELLE

Densité osseuse globale moyenne de la zone pré-sinusienne =  $660.9 \pm 76.7$  UH  
Selon le sexe  
 Test de la somme des rangs de Wilcoxon  
 Densité globale :  $p = 0.305$   
 Densité apicale :  $p = 0.033$

### VARIABILITÉ POPULATIONNELLE

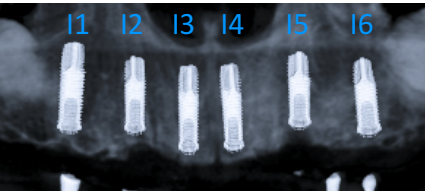


Sens vestibulo-palatin  
 Test de student :  $p = 0.900$

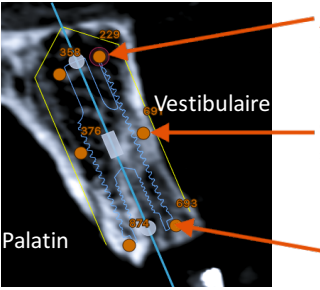
## MÉTHODES

Echantillon : N= 30 (15 ♂+15 ♀)

Protocoles d'imagerie et de mesures<sup>[2]</sup> : logiciel NobelClinician®



Implants virtuels : Incisive (I3-I4), Canine (I2-I5), Première prémolaire (I1-I6)

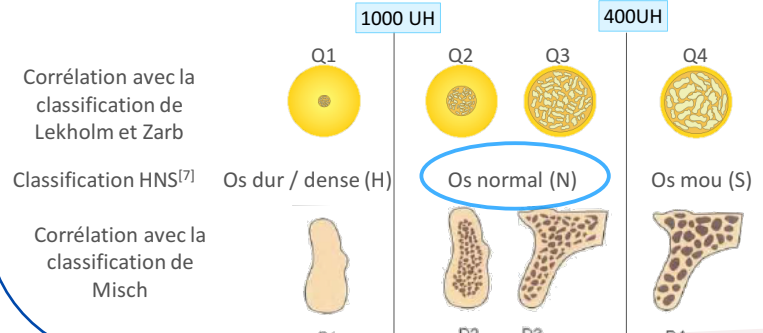


6 points de mesure de la densité osseuse au niveau de chaque implant

## DISCUSSION ET CONCLUSION

- CBCT = Densités osseuses relatives
- Sexe : Pas de différence significative de densité globale mais différences **significatives** de densités **apicales** : F (539UH) < H (640UH) ( $p=0,033$ )
- Pas de corrélation densité osseuse / **âge**
- Densité osseuse **décroissante** de la surface de la crête osseuse aux structures **plus apicales** ( $p<0.02$ )
- Densité osseuse significativement **plus grande** dans les **régions incisives** par rapport aux **régions prémolaires** ( $p<0.05$ )
- Résultats comparables aux les études précédentes [3-6]

Moyenne de la densité osseuse de la zone médiane : 555-794 UH



→ Méthode à exploiter sur un échantillon plus grand pour étudier l'influence d'autres critères anthropologiques ou comparer plusieurs échantillons issus de populations différentes



# ADAPTATION TRANSCULTURELLE ET EVALUATION PSYCHOMETRIQUE D'OUTILS DE MESURE DES CAPACITES A L'UTILISATON DES DONNEES PROBANTES DES INFIRMIERS EN PRATIQUE AVANCEE

M. Mellinas<sup>1</sup>, S. Colson , C. Evans , A. Amania , B. Saliba –Serre , M. Signoli , A. Lami



**CONTEXTE** : Evidence Based ou données probantes sont définies par l'OMS comme des conclusions issues de la recherche pouvant servir de base de décisions dans les soins - La mise en œuvre de l'Evidence Based Nursing (EBN) est une nouvelle compétence des infirmiers en pratique avancée au grade Master depuis 2018 dans un contexte d'intégration Universitaire et d'internationalisation de l'Enseignement Supérieur .

**L'OBJECTIF** est de valider la version française de deux instruments de mesure : Knowledge and Skills , Evidence Based Nursing (KSEBN ) qui évalue les trois premières étapes de l'EBN. L'Evidence Based Practice Belief (EBPB) évalue la propension à l'utilisation des données probantes .

**METHODE** : Etude pilote méthodologique - **ADAPTATION TRANSCULTURELLE ET EVALUATION PSYCHOMETRIQUE**

### COMITE EXPERT ( traducteurs , chercheur connaissant la méthode, enseignants )

**TRADUCTION** du français vers l'anglais par deux traducteurs indépendants –Retro traduction ou Back translation par deux autres traducteurs -

**PRÉTEST** des items sur un ECHANTILLON de la population cible 15 étudiants de première année et 15 de deuxième année

**ETUDE STATISTIQUE DE LA FIDELITE**  
**VALIDITE DES QUESTIONNAIRES AUPRES DE LA POPULATION CIBLEE:** 45 étudiants IPA première année -45 étudiants de deuxième année

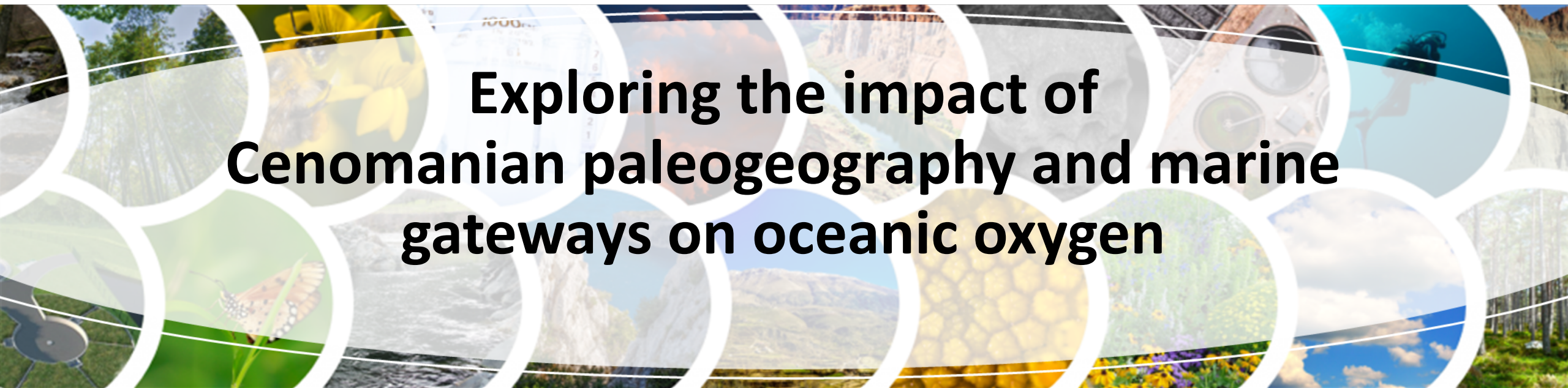
**RESULTATS attendus** : Données socio démographiques -Evaluer les qualités psychométriques de la version française

**La FIDELITE se réfère à la consistance interne et à sa stabilité temporelle**  
–la stabilité temporelle : **Une corrélation supérieure à 0,60**

**La VALIDITE** se réfère à ce que l'outil évalue et avec quelle précision  
la validité de contenu – la validité de construit – la validité de critère

*la consistance interne : Alpha de Cronbach  
entre 0,70 et 0,95*

**CONCLUSION** : la validation des deux instruments permettra d'évaluer cette compétence auprès des étudiants au grade Master et dans les deux ans qui suivent leur formation afin de favoriser le développement de la pratique basée sur des données probantes des infirmiers .



# Exploring the impact of Cenomanian paleogeography and marine gateways on oceanic oxygen

M. Laugié<sup>1</sup>, Y. Donnadieu<sup>1</sup>, J.B. Ladant<sup>2</sup>, L. Bopp<sup>3</sup>, C. Éthé<sup>4</sup>, F. Raisson<sup>5</sup>

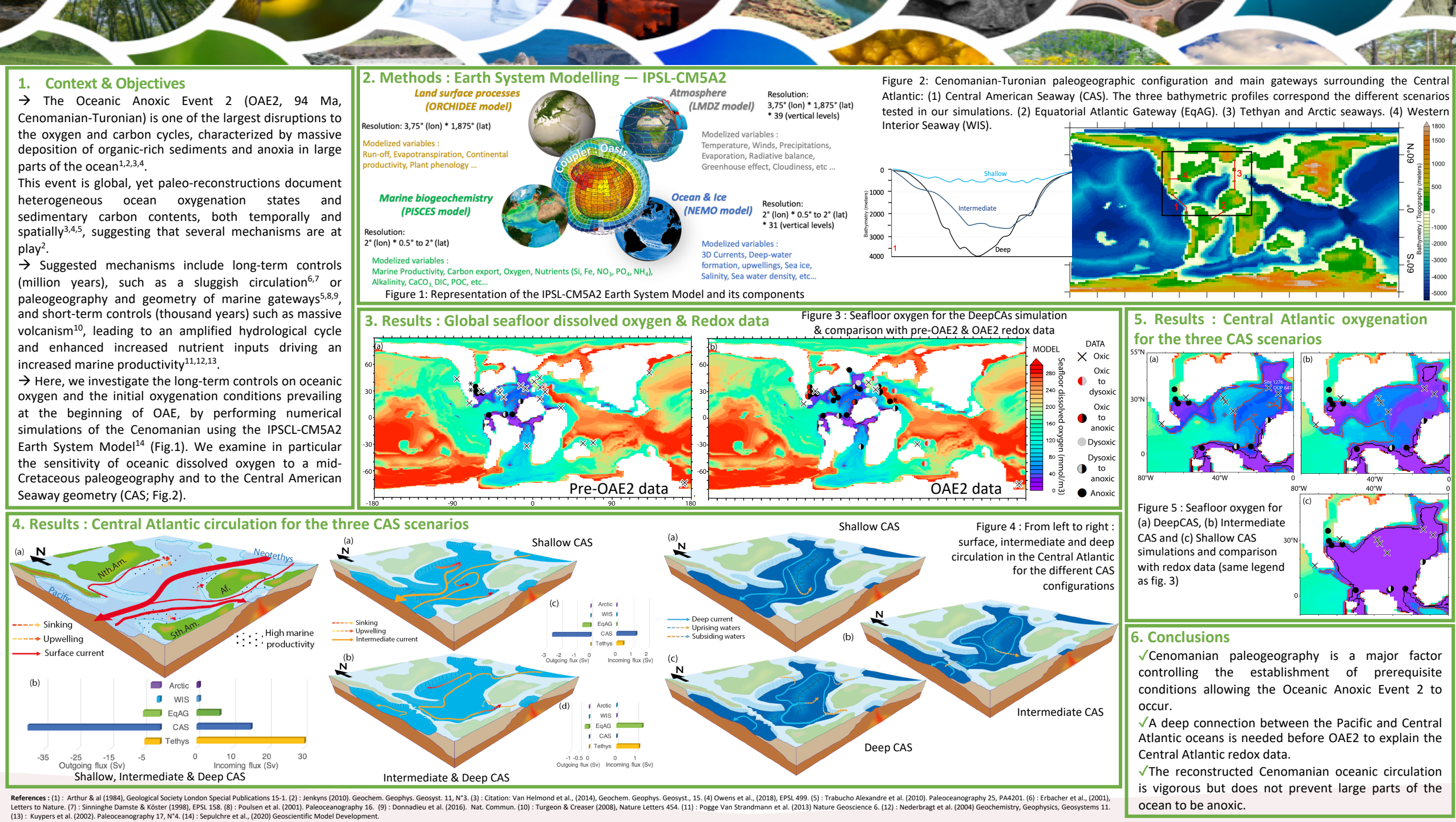
<sup>1</sup> Aix Marseille Univ, CNRS, IRD, INRA, Coll. France, CEREGE, Aix-en-Provence, France

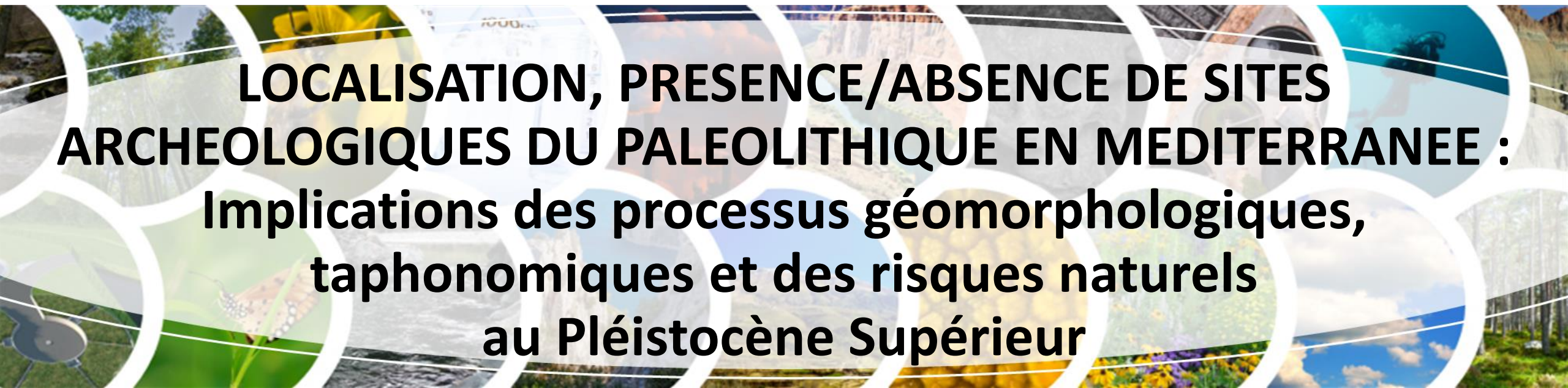
<sup>2</sup> Laboratoire des Sciences du Climat et de l'Environnement, LSCE/IPSL, CEA-CNRS-UVSQ, Université Paris-Saclay, 91191 Gif-sur-Yvette, France

<sup>3</sup> LMD/IPSL, Ecole Normale Supérieure / PSL University, CNRS, Ecole Polytechnique, Sorbonne Université- Paris, France

<sup>4</sup> Institut Pierre-Simon Laplace, Sorbonne Université/CNRS, Paris, France

<sup>5</sup> Total EP – New Exploration Concepts R&D Program, Pau, France





# LOCALISATION, PRESENCE/ABSENCE DE SITES ARCHEOLOGIQUES DU PALEOLITHIQUE EN MEDITERRANEE : Implications des processus géomorphologiques, taphonomiques et des risques naturels au Pléistocène Supérieur

N. Sirdeys <sup>1, 2, 3, 4 \*</sup>, V. Ollivier <sup>2, 3, 4</sup>, O. Bellier <sup>1, 3, 4</sup>, J.-P. Bracco <sup>2, 3, 4</sup>

(1) Aix Marseille Univ, CNRS, IRD, INRAE, Coll France, CEREGE, Aix-en-Provence, France

(2) Aix Marseille Univ, CNRS, Minist Culture, LAMPEA, Aix-en-Provence

(3) Aix Marseille Univ, CNRS, FR ECCOREV, Aix-en-Provence, France

(4) Institut d'archéologie méditerranéenne ARKAIA Maison méditerranéenne des sciences de l'homme,  
Aix-en-Provence, France

\* [nais.sirdeys@univ-amu.fr](mailto:nais.sirdeys@univ-amu.fr)

# LOCALISATION, PRÉSENCE/ABSENCE DE SITES ARCHEOLOGIQUES DU PALEOLITHIQUE EN MEDITERRANEE : Implications des processus géomorphologiques, taphonomiques et des risques naturels au Pléistocène Supérieur

## Contexte d'étude

En Méditerranée, les dynamiques sédimentaires, les risques naturels et l'anthropisation des milieux ont montré à plusieurs reprises sur les 50 000 dernières années combien leurs interactions complexes s'avèrent déterminantes dans la lecture des paysages et la répartition, conservation, destruction de sites archéologiques [1,2].

Afin de comprendre de manière détaillée les origines, les ordres d'amplitudes, les fréquences et la rapidité des processus en milieux méditerranéens, cette étude diachronique et multiscalaire prend place autour des massifs provençaux les plus caractéristiques du Sud-Est de la France (Luberon, Alpilles, Sainte-Victoire, Lure, Trévaresse, Ventoux, etc.).

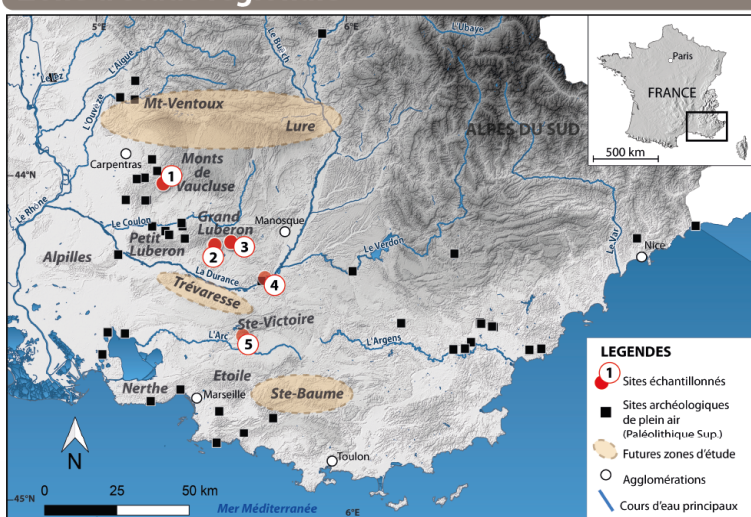
La première contribution de cette thèse porte sur l'analyse des variations des dynamiques sédimentaires du Pléistocène supérieur à travers l'étude de formations détritiques dans lesquelles se succèdent d'épaisses accumulations sédimentaires typiques des environnements froids du dernier pléistocène (glaçis de géliflacts) et des horizons pédologiques (à matrice limoneuse et /ou argileuses fines) plus ou moins développés. Ces horizons sont à la fois reconnus comme étant des marqueurs morphoclimatiques d'interstadia tempérés [3], de risques (e.g. failles) [4], mais aussi, et parfois, comme des marqueurs riches en matériaux archéologiques [5].

Indépendamment du fait que ces horizons puissent présenter des vestiges archéologiques, et que leur matrice fine soit taphonomiquement propice à leur bonne conservation, leur présence traduit plusieurs périodes de ralentissements ou de pauses dans les dynamiques des accumulations sédimentaires pourtant très actives avant et après leur mise en place.

Cette étude vise donc à :

- 1) Caractériser et préciser les variations morphoclimatiques du Pléistocène supérieur et leur mise en place (transitions, dynamiques, processus) à l'échelle régionale;
- 2) Offrir un mode de lecture permettant de cibler et décrypter dans la précision la présence/absences de sites/vestiges archéologiques sur le terrain;
- 3) Identifier dans la diachronie, au sein des séquences sédimentaires et modélisés étudiés, la présence d'indices et/ou de marqueurs d'aleas, dont la compréhension s'avère essentielle pour estimer les risques (archéologiques/naturels) [6].

## Zone d'étude régionale



## Matériel et méthodes

### 1) Analyses géomorphologiques de terrain (définition des formes et formations, stratigraphie échantillonnage)

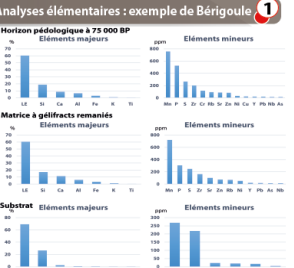
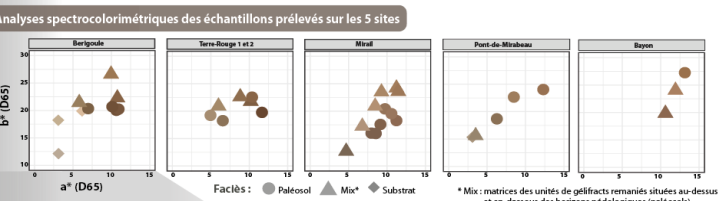
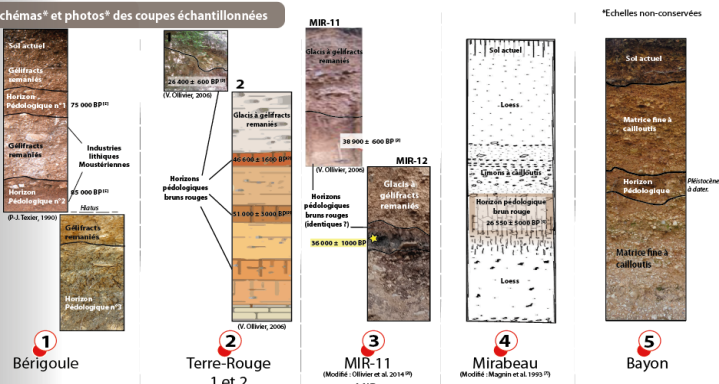
### 2) Cartographie (QGIS) et modélisation

### 3) Analyses de laboratoire :

- Géochimie (pXRF Vanta C pour analyses élémentaires)
- Spectrocolorimétrie (Konica Minolta)
- Granulométrie (image sizing avec Analysette 28 Fritsch)
- Micromorphométrie (lame mince, microscope digital)
- Chronométrie (<sup>14</sup>C, TL)

### 4) Etude des corpus de données disponibles (archéologie, risques, paléoenvironnements)

## Résultats préliminaires :



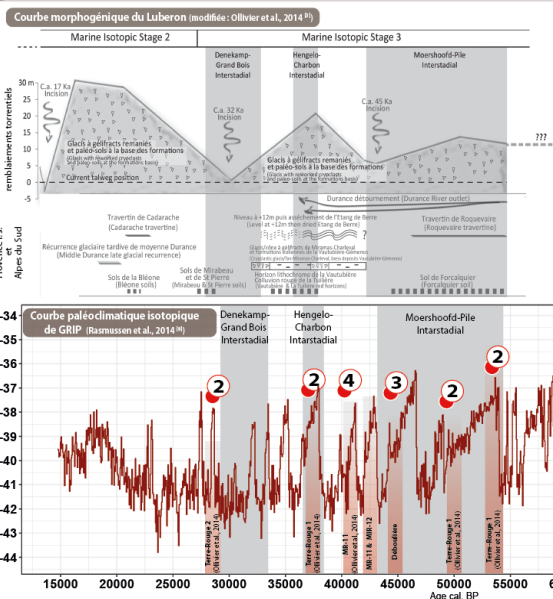
En nous fondant sur des coupes nouvelles et déjà étudiées, nous avons déterminé les caractéristiques géochimiques et spectrocolorimétriques d'horizons typiques du Pléistocène Supérieur en Méditerranée. Les caractéristiques communes à tous les sites étudiés sont les horizons pédologiques bruns-rouges attribués aux interstadia du Pléistocène et situés à la base de glaciis à géliflacts remaniés ou de formations de type loessiques. D'un point de vue colorimétrique, ces horizons se démarquent des autres facies par leurs teintes « maron-rouges ». Géochimiquement et de façon générale, ces horizons qui se développent dans des environnements calcaires, présentent des concentrations plus faibles en calcium mais plus riches en silicium, que les autres facies ce qui témoigne d'une altération des substrats par la pédogénèse. A terme, ces analyses traitées en profondeur mettront précisément en relief les différents milieux, contextes, dynamiques et périodes de formation de ces horizons.

## Conclusions et perspectives

L'analyse géomorphologique de terrain et l'identification des facies a permis d'identifier précisément différentes unités sédimentaires du dernier Pléistocène en contexte méditerranéen. Près de 50 échantillons ont été prélevés au sein de nouvelles séquences ou de sections connues dans la littérature.

Les caractéristiques et évolutions visibles grâce aux mesures spectrocolorimétriques et pXRF permettent d'appréhender dans la précision les dynamiques syn et post-sédimentaires des horizons pédologiques des interstadia tempérés du Pléistocène supérieur. Ceci nous permet de décrypter les contextes favorables aux occupations humaines, mais aussi les dynamiques et processus susceptibles de constituer des menaces quand à la conservation ou déterioration de leurs vestiges (notamment par érosion ou organisation géométrique des nappes sédimentaires).

Dans les détails, les prochaines analyses permettront de comprendre l'évolution chimique de ces horizons pédologiques, leur type (sols colluviaux ou plus bruns...), la durée des stases et l'aspect « viable/attractif » de ces environnements pour les occupations. Ainsi, nous nous serons en mesure d'appréhender si certaines lacunes régionales en terme de répartition des sites/vestiges archéologiques sont à attribuer à des mécanismes d'ordres morphosédimentaires (érosion/glissemens/autres processus), bioclimatiques et/ou culturels.



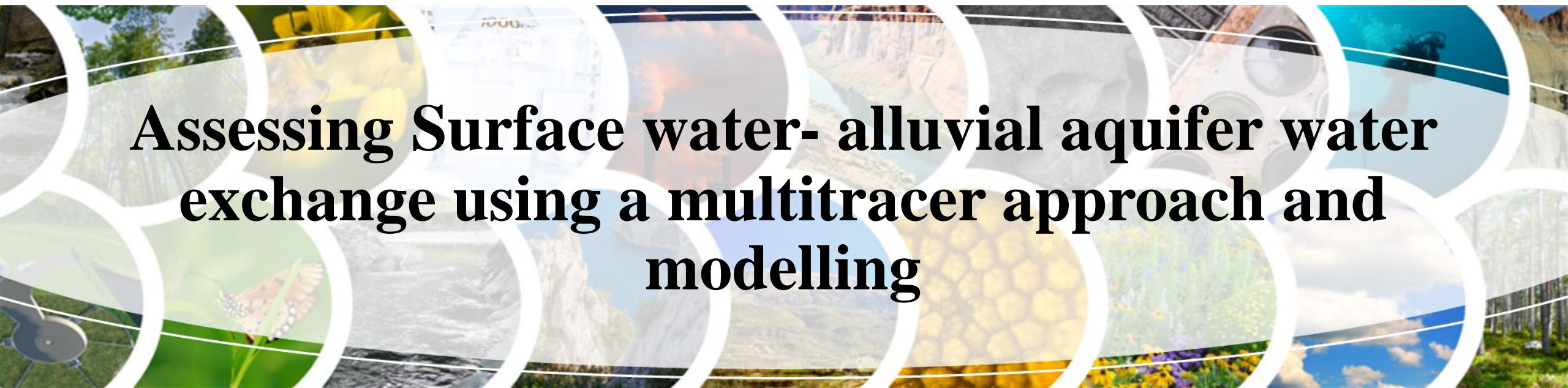
La modélisation des tendances morphogénétiques à échelle régionale sera également comparée à des données issues de différentes régions méditerranéennes (Italie du Sud et Maroc) afin d'être le plus exhaustif possible au regard de la variabilité des contextes taphonomiques (physiographies, lithologies, environnements bioclimatiques).

## Remerciements

Nous tenons à remercier Aix-Marseille Université pour le financement du contrat inter-ED (251 et 355) obtenu pour mener à bien cette thèse. Nous remercions également les financeurs et collaborateurs de l'équipe du projet LoST (ECCOREV), l'équipe du projet Méditerranéen (l'Institut Arkai), ainsi que le Parc Naturel Régional du Luberon-Lure pour le soutien financier, matériel et logistique. De plus, cette étude a bénéficié d'un accès privilégié aux données archéologiques du Service d'Archéologie Régionale de la région Sud. Les analyses sédimentologiques, géochimiques et colorimétriques sont réalisées sur la plateforme PlaSéDO de l'UMR 7269 LAMPEA (<https://lampea.cnrs.fr/spip.php?article3853>).

## Références bibliographiques

- [1] M. Provansal, F. Bertoncello, and G. Gill, "Dynamiques morpho-sédimentaires et peuplement sur le Rocher de Roquebrune-sur-Argens (Var)," *ArchéoSciences*, vol. 30, no. 1, pp. 17-27, 2006.
- [2] M. Lazzari and S. Lazzari, "Geological and Geomorphological Hazard in Historical and Archaeological Sites of the Mediterranean Area: Knowledge, Forecasting and Mitigation," *Disaster Adv.*, vol. 5, no. 3, pp. 63-71, 2014.
- [3] V. Ollivier, F. Magnin, J. L. Guendouz, and C. Miramonti, "Regards sur les dynamiques paysagères du Pléistocène Supérieur du Luberon et de la Provence Sud (SIM 3 et SIM 2, France)" *Perspectives on the upper pleistocene landscape dynamics of luberon and lower provence (mis 3 and mis 2, southern france)" Quaternary*, no. 25/2, pp. 91-111, 2014, doi: 10.1080/quaterne.7002.
- [4] A. Dutour, H. Philipp, E. Jaupard, and P. Combès, "Mis en évidence de déformations en faille inverse avec ruptures de surface costimées dans des dépôts calcaires du versant nord du mont Ventoux," *Quat. Sci. Rev.*, vol. 25, pp. 103-115, 2006.
- [5] D. Richter et al., "Thermoluminescence-dating of heated flint from the Mousterian site of Bérgioule, Murs, Vaucluse, France," *J. Archaeol. Sci.*, vol. 34, no. 4, pp. 532-539, 2007, doi: 10.1016/j.jas.2006.06.006.
- [6] O. Bellier, "Forewords: Biogeography in the context of climate change in the Mediterranean basin," *Sci. Geol.*, no. 2, pp. 275-289, 1993.
- [7] F. Magnin, "Quaternary marine Mollusca and paleoacarites in Mediterranean France," *Sci. Geol.*, no. 2, pp. 271-275, 2011.
- [8] S.O. Rasmussen et al., "A stratigraphic framework for abrupt climatic changes during the Last Glacial period based on three synchronized Greenland ice-core records: Refining and extending the INTIMATE event stratigraphy," *Quat. Sci. Rev.*, vol. 106, pp. 14-28, 2014, doi: 10.1016/j.quascirev.2014.09.007.



# Assessing Surface water- alluvial aquifer water exchange using a multitracer approach and modelling

J. Texier<sup>1</sup>, J. Gonçalves, J. Labille, T. Stieglitz, and C. Vallet-Coulob

<sup>1</sup> Aix Marseille Univ, CNRS, IRD, INRA, Coll France, CEREGE, Aix-en-Provence, France

## Introduction

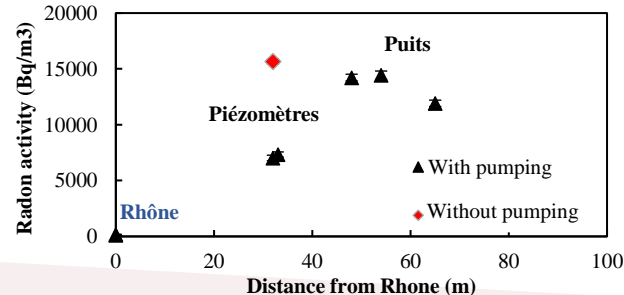
- Les aquifères alluviaux sont généralement très productifs et donc particulièrement exploités
- Notre site d'étude est une installation de production d'eau potable située dans la plaine alluviale du Rhône : le site de la Jouve
- Objectif : Comprendre les relations nappe-Rhône et déterminer les vulnérabilités du site vis-à-vis du Rhône



## Matériel et méthodes

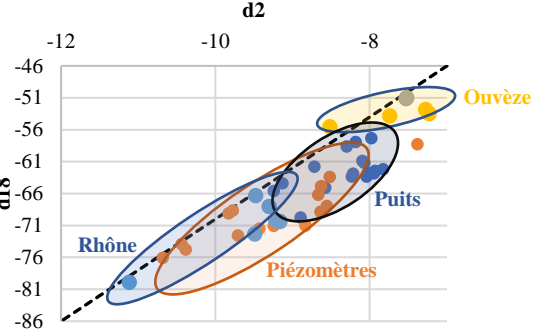
- Le Rhône, les puits de pompage ainsi que cinq piézomètres ont été suivis et échantillonnés pendant 2 ans
- Approche multi-traceurs pour déterminer les échanges entre l'aquifère et le fleuve (température, conductivité, isotopes stables de l'eau et activité du radon)
- Les résultats ont été intégrés dans un modèle numérique

## Résultats



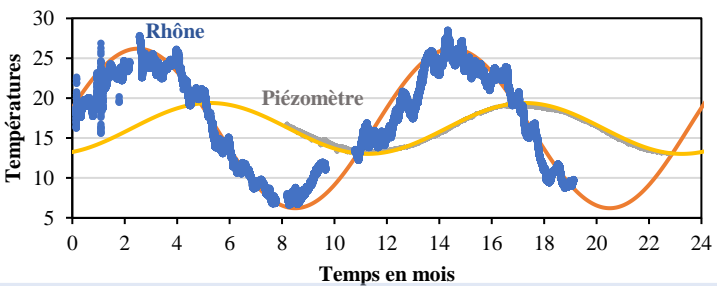
### Radon:

- Radon présent dans les eaux souterraines, pas en rivière
- Mise en évidence de différences lorsque les puits sont en pompage ou pas
- En pompage : intrusion d'eau du Rhône, activités plus basses



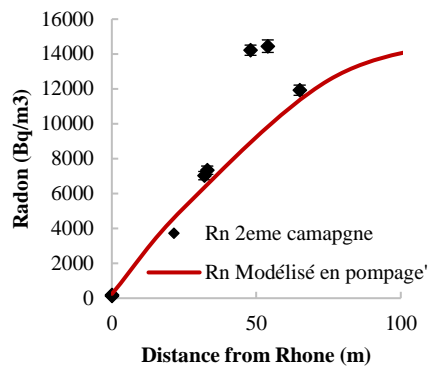
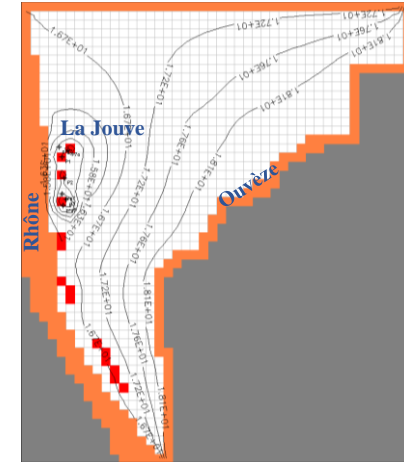
### Isotopes stables de l'eau:

- Mise en évidence de différences de signature isotopique entre le Rhône, les piézomètres, les pompes et l'Ouvèze
- Mélange géochimique entre les eaux de rivière et l'aquifère au niveau des puits et piézomètres (2 pôles : Rhône et Ouvèze)



### Températures:

- Déphasages entre le Rhône et les puits; variables avec la distance au Rhône
- Utilisation de solutions analytiques 1D, pour déterminer les temps de transfert (vitesse de Darcy) et les paramètres diffusifs
- Vitesses :  $0,9\text{--}3,0 \times 10^{-5} \text{ m s}^{-1}$



### Modélisation :

- Ecoulements sur site reproduits:
  - Transfert du Rhône vers les puits en pompage
  - Transfert de la nappe vers le Rhône hors pompage
- Dynamique du cycle du Radon reproduit
- Bilan d'eau : environ 40 % par le Rhône et 60% par l'Ouvèze

## Conclusion

- L'utilisation des différents traceurs a permis d'obtenir les paramètres clé des écoulements de manière répétable et robuste
- Cette robustesse a permis de mieux comprendre les échanges et les vulnérabilités du site en cas de pollution
- Perspective : amélioration de la résolution du modèle, intégration des autres traceurs et transport de polluants

## Remerciement

Nous remercions l'Agence de l'Eau Rhône-Méditerranée-Corse, le syndicat des eaux Rhône-Ventoux et Suez pour le financement de ce projet

# HISTOIRE THERMIQUE DE LA NAPPE DE DIGNE

J. Balansa<sup>1\*</sup>, N. Espurt<sup>1</sup>, J.-C. Hippolyte<sup>1</sup>, A. Lahfid<sup>2</sup>, S. Caritg<sup>2</sup>

<sup>1</sup> Aix Marseille Univ, CNRS, Centrale Marseille, M2P2, Technopôle de l'arbois, 13545 Aix en Provence, France

<sup>2</sup> BRGM, Service géologique national, 3 Avenue Claude Guillemin, 45100 Orléans, France

\*balansa@cerege.fr

## 1. Contexte Géologique

La Nappe de Digne correspond aux zones externes des Alpes (Fig. 1). Elle est chevauchée au Nord par les nappes de Flyschs de l'Embrunais et chevauche au Sud le bassin de Valensole. Elle est composée principalement de matériel mésozoïque, couvert vers le Nord par les Grès d'Annot d'âge Eocène-Oligocène. Le bassin de Digne a enregistré les extensions téthysienne et vocontienne avant de d'être déformée par l'orogène pyrénéen. La déformation alpine s'est propagée après le dépôt d'avant-fosse des grès d'Annot. A l'Oligocène inférieur, une importante érosion précède la mise en place de la Nappe d'Autapie et d'unités sub-briançonnaises. La Nappe de Parpaillon lui succède durant le Miocène. La Nappe de Digne est la dernière à se mettre en place, entre le Miocène Supérieur et le Quaternaire.

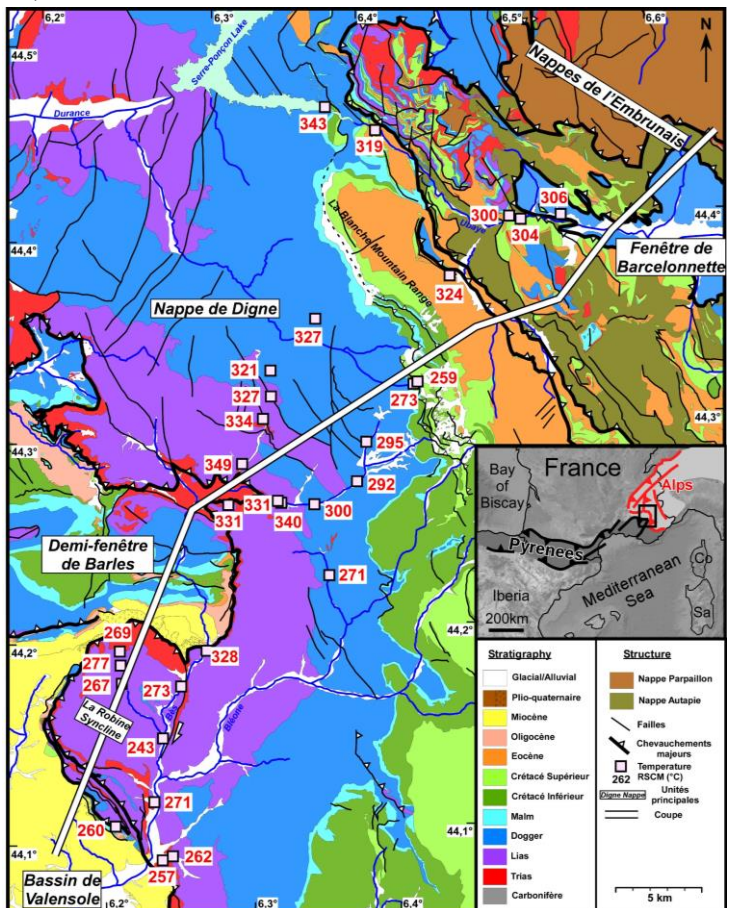


Fig. 1 : Carte géologique et position des échantillons

## 2. Méthodes

Une analyse de la matière carbonée par spectrométrie Raman (RSCM) sur lames minces a été réalisée sur 30 échantillons issus de l'ensemble des formations présentes dans la Nappe de Digne, suivant le protocole de Lahfid et al. (2010). Le RSCM permet de quantifier la température maximale enregistrée dans une roche hôte. Nous avons sélectionné des grains intégrés à des minéraux hôtes pour éliminer les défauts induits par le polissage. Pour les échantillons détritiques et afin de s'émanciper d'un potentiel héritage thermique, les analyses ont été réalisées dans les grains et dans le ciment. Les corrections des spectres ont été effectuées dans l'intervalle 800-2000 cm<sup>-1</sup>, par combinaison de 5 bandes de courbes Lorentziennes (Fig. 2). L'apparence des spectres donne un ordre de grandeur des températures. La quantification est réalisée par la corrélation de ratios entre les bandes D1 à 4 et G.

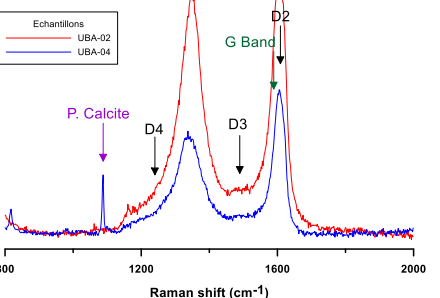


Fig. 2 : Spectres représentatifs acquis dans les Grès d'Annot

## 3. Résultats et Discussion

Les résultats montrent que les formations sédimentaires de la nappe ont enregistré des pics de températures entre 260° et 350° C (Fig. 1 et 3). Ces valeurs augmentent vers le Nord pour les formations de mêmes âges, telles que le Lias ou le Callovien-Oxfordien. Les grès d'Annot, au Nord de la structure de la chaîne de la Blanche, ont également enregistré des températures de l'ordre de 300°C. Ces températures sont supérieures de 60 à 100°C aux estimations effectuées antérieurement (e.g. Cavailhès et al., 2013; Labaume et al. 2008). Dans le modèle classique d'enfouissement tectonique privilégié par ces auteurs, cela revient à épaisser les unités de l'Embrunais de 2 à 4 km selon un gradient de 25°C/km, pour un total de 12 à 16 km. Or, les épaisseurs connues des nappes de l'Autapie et de Parpaillon à stratigraphie complète, y compris en tenant compte de leur déformation interne, sont de l'ordre de 3 à 4 km. Même en considérant l'érosion, en particulier de la nappe de Parpaillon, un modèle par empilement tectonique supposerait l'existence d'unités supérieures actuellement inconnues afin d'atteindre l'enfouissement requis pour de telles températures. Une autre théorie consisterait en un flux thermique sous-jacent, synchrone d'un remplissage intense du bassin (Rupélien ?), où les sédiments servent de couverture thermique permettant une augmentation importante de la température (Lagabrielle et al., 2020). Ce modèle est cohérent avec les modèles de convection mantelliques conduits par les subductions de Jolivet et al. (2015) et les résultats récents du projet CIFALP, établissant un flux asthénosphérique tard-Oligocène induit par le retrait de slab des Appenins (Malusa et al., 2021). Nos résultats analytiques complètent les données géophysiques de ce projet, avec une initiation du flux plus précoce.

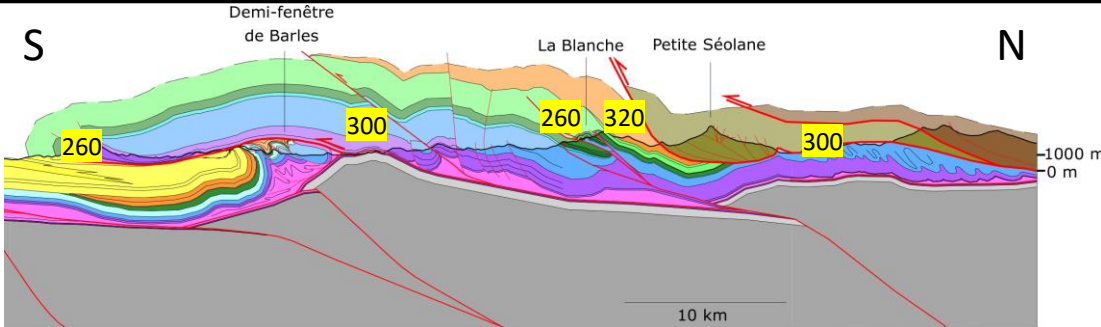


Fig. 3 : Coupe actuelle de la Nappe de Digne (légende dans Fig. 1)

## 4. Conclusion

Nous proposons un modèle géodynamique couplant plusieurs phénomènes (Fig. 4) :

- Un amincissement crustal datant du Vocontien et maintenu jusqu'à l'Oligocène, repris par la traction de la plaque en subduction,
- Une réactivation en failles normales des structures synchrones au dépôt des Grès d'Annot, provoqué par de l'accommodation tectonique à l'avant du prisme alpin, et causant une forte sédimentation servant de couverture thermique,
- Un flux mantellique sous le bassin d'avant-pays du prisme alpin, causé par la succion du retrait de slab appennin,

Le cumul de ces phénomènes induit une fenêtre asthénosphérique surchauffant le système septentrional de la Nappe de Digne.

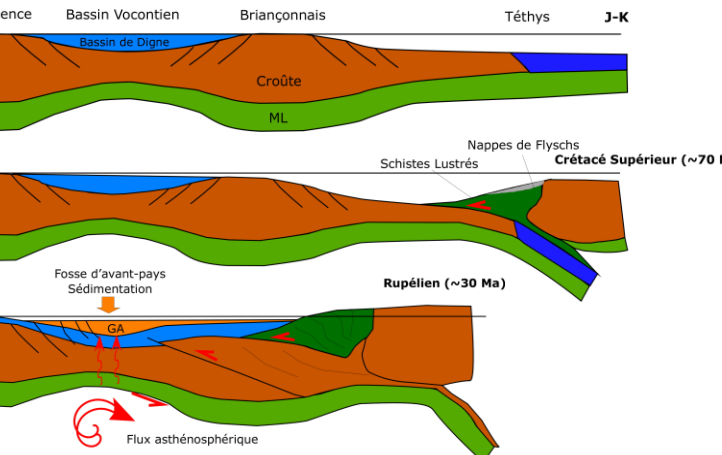


Fig. 4 : Schéma cinématique synthétique



# Quantification of the fate of organic carbon in a long-term tropical fertilization experiment: the potential role of stable carbon isotopes

F. Jamoteau<sup>1,2,3</sup>, J. Balesdent<sup>3</sup>, I. Basile-Doesch<sup>3</sup>, E. Tillard<sup>4,5</sup>, A. Versini<sup>1,2</sup>

(1) CIRAD, UPR Recyclage et risque, Station de La Bretagne, 97743 Saint-Denis, Réunion department;

(2) Recyclage et Risque, Univ Montpellier, CIRAD, Montpellier, France ;

(3) CEREGE, Aix-Marseille Université, CNRS, IRD, Coll France, INRAE, F-13545 Aix-en-Provence, France ;

(4) CIRAD, Systèmes d'élevage méditerranéens et tropicaux, 97410 Saint-Pierre, Réunion ;

(5) Systèmes d'élevage méditerranéens et tropicaux, Univ Montpellier, CIRAD, Montpellier, France.

## Introduction

As a result of the 4p1000 initiative, increasing C stabilization of cultivated soils is now a key issue linked to C stabilization and nutrients recycling. Spreading organic fertilizers (OF) on land is one way to increase C stocks in crop soils.

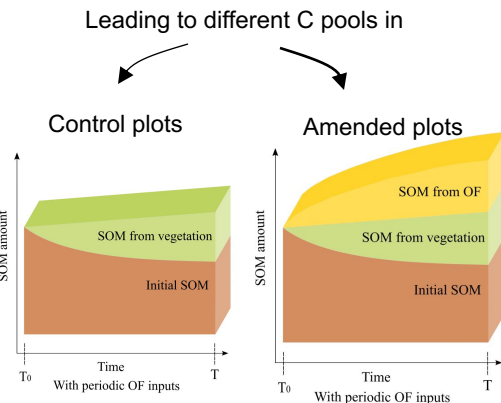
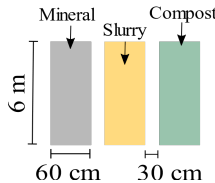
Quantification of OF-C is usually measured by C stock difference between amended and non-amended plots [1-4]. But the indirect direct of OFs on initial-C and vegetation-C does not allow OF-C quantification only.

### How to quantify C derived solely from organic fertilizers (OF-C) in experimental plots ?

## Material and methods

Sampling two agronomic trials receiving OFs for 13 years : a C-poor arenosol and a C-rich andosol from La Réunion island.

$\delta^{13}\text{C}$  soils measurements of plots receiving bovine slurry, compost bovine manure and mineral fertilization as control plots.



OF-C quantification using 3 methods :

$$\text{Differential method } f_{COF} = \frac{C_{OFSoil} - C_{CTLsoil}}{C_{OFSoil}}$$

$$\text{Isotopic synchronic } f_{COF} = \frac{\delta^{13}C_{OFSoil} - \delta^{13}C_{CTLsoil}}{\delta^{13}C_{OFSoil} - \delta^{13}C_{CTLsoil}}$$

$$\text{Isotopic asynchronous } f_{COF} = \frac{\delta^{13}C_{OFSoil} - \delta^{13}C_{CTLsoilT_0}}{\delta^{13}C_{OFSoil} - \delta^{13}C_{CTLsoilT_0}}$$

C stock difference between control and amended plots year by year

Isotopic difference between control and amended plots year by year

Isotopic difference between plots before experiment and at time of calculation

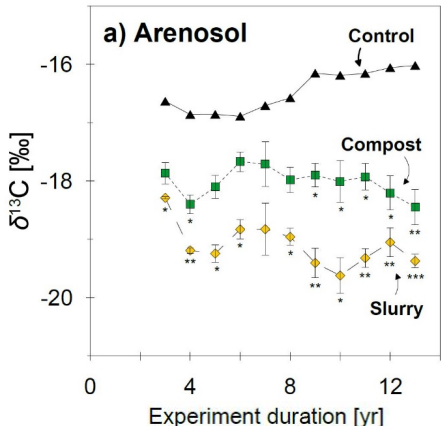
## Isotopic signature

$$\delta^{13}\text{C}_{\text{crop}} = -13,9 \text{ ‰}$$

$$\delta^{13}\text{C}_{\text{compost}} = -20,3 \pm 2,8 \text{ ‰}$$

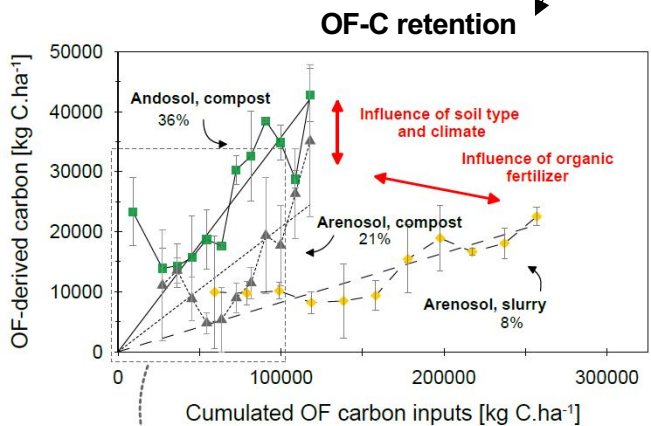
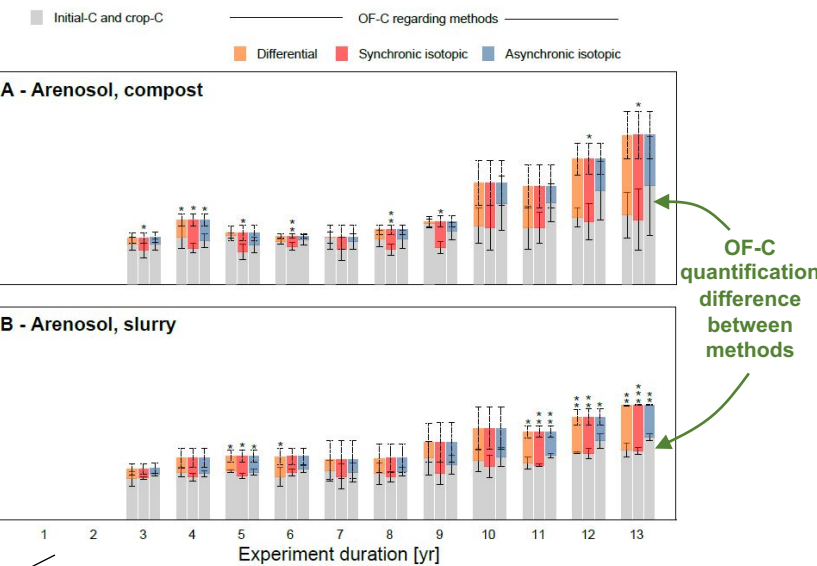
$$\delta^{13}\text{C}_{\text{slurry}} = -24,3 \pm 1,3 \text{ ‰}$$

### Increasing isotopic difference of amended and controls plots over time



## Results

### OF-C quantifications



## Discussion and conclusion

The synchronic isotopic method was the most suitable method due to :

- vegetation-induced evolution of soil  $\delta^{13}\text{C}$  in control plots over time

- OF influence on vegetation (pattern, quantity) and/or OF influences on initial-C and crop-C (e.g. priming effect).

Results suggested OF-C retention difference depending on influences of soil type and climate but also OF type.

### References

- [1] Lou et al., « Impacts of 22-Year Organic and Inorganic N Managements on Soil Organic C Stocks in a Maize Field, Northeast China ».
- [2] Paetsch et al., « Urban waste composts enhance OC and N stocks after long-term amendment but do not alter organic matter composition ».
- [3] Liu et al., « Stable Isotope Fractionation Provides Information on Carbon Dynamics in Soil Aggregates Subjected to Different Long-Term Fertilization Practices ».
- [4] Liang et al., « Two-Decade Long Fertilization Induced Changes in Subsurface Soil Organic Carbon Stock Vary with Indigenous Site Characteristics ».

Article under review in isotope in environmental and health studies



# Evolution and Adaptation of Coccolithophores to Recent Environmental Changes in the Mediterranean Sea

**Majd HABIB<sup>1</sup> & 2\*, Abed El Rahman HASSOUN<sup>1</sup>, Luc BEAUFORT<sup>2</sup>**

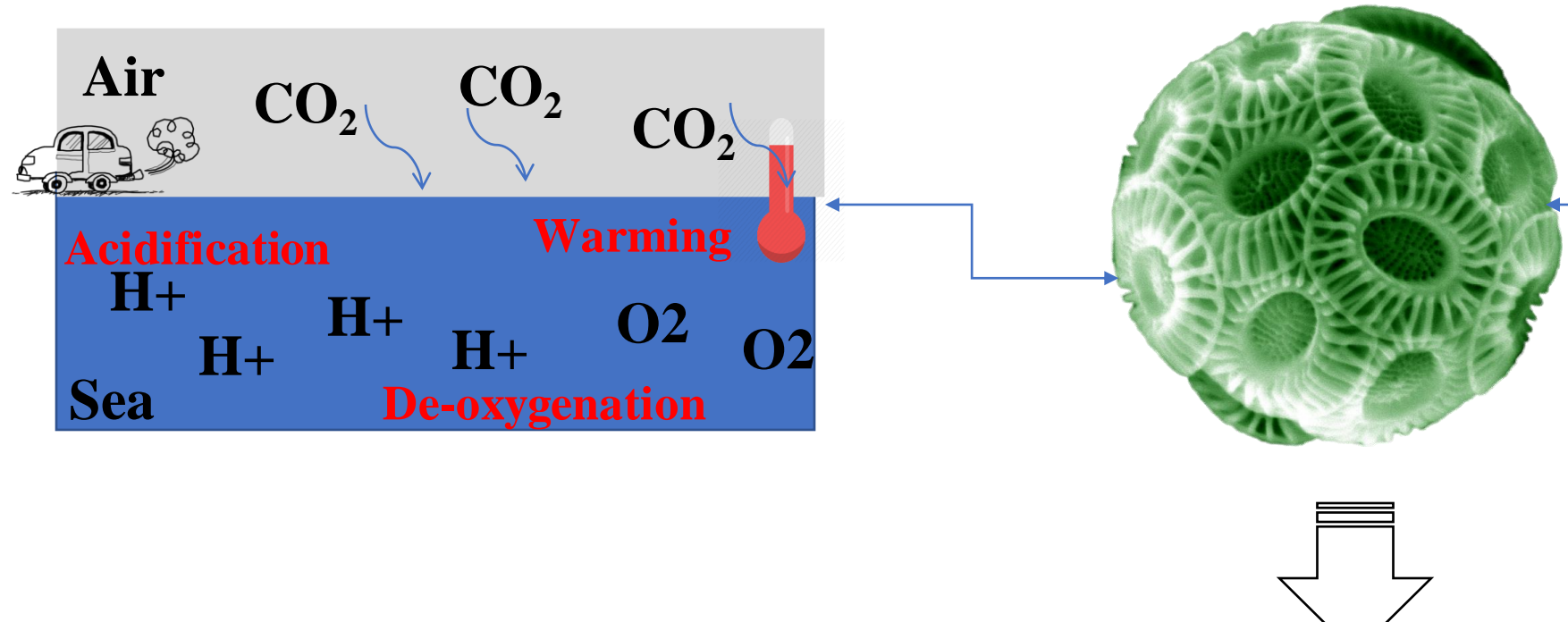
<sup>1</sup>*National Council for Scientific Research in Lebanon-National Center for  
Marine Sciences, Batroun, Lebanon*

<sup>2</sup>*Aix Marseille Univ, CNRS, IRD, Coll France, INRAE, CEREGE, Aix-  
en-Provence, France*

## INTRODUCTION

Coccolithophores are phytoplanktonic species that are playing a key role in the modern oceanic biogeochemistry. In addition, they are behind the major part of the production of oceanic carbonates. The semi-enclosed Mediterranean Sea is very vulnerable to environmental changes and anthropogenic pressures. Hence, this sea is considered as a hotspot for climate change where faster warming and acidification rates are occurring. All these changes that are facing the Mediterranean Sea will affect its unique marine ecosystems especially the primary producers, such as coccolithophores. Moreover, chemical changes in the sea water, stemming from the increase of concentrations of atmospheric CO<sub>2</sub>, include the rise of dissolved carbon dioxide concentrations of hydrogen ions (H<sup>+</sup>), bicarbonate ions (HCO<sub>3</sub><sup>-</sup>) and the drop of concentrations of carbonates ions (CO<sub>3</sub><sup>2-</sup>) and pH.

## BACKGROUND OF OUR STUDY



### THUS, OUR AIMS ARE:

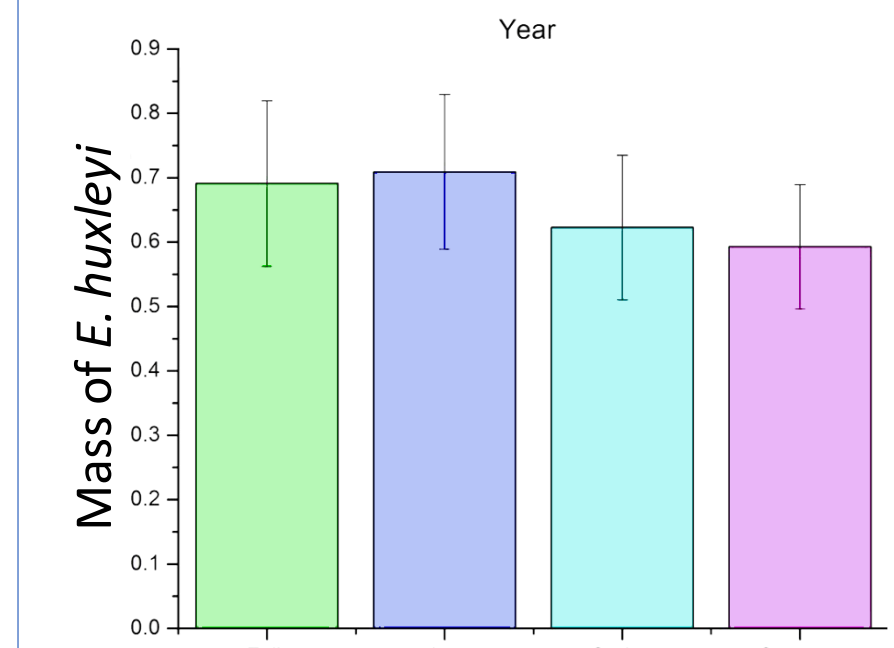
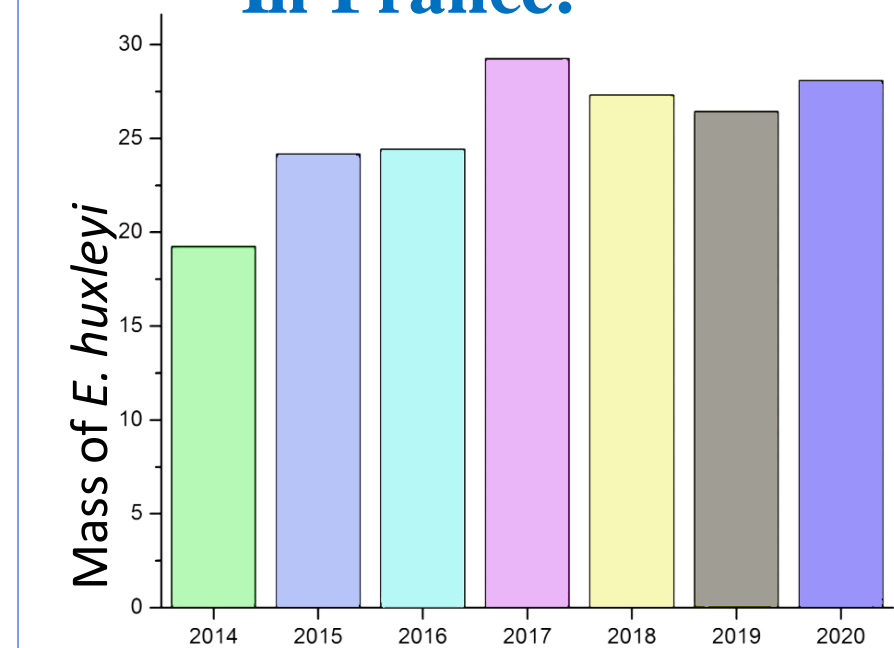
- To study the evolution and adaptation of these key species
- To know how they react to biogeochemical changes
- To measure how the change of the carbonate system in this sea impacts the calcification process

## IMPORTANCE OF COCCOLITHOPHORES?

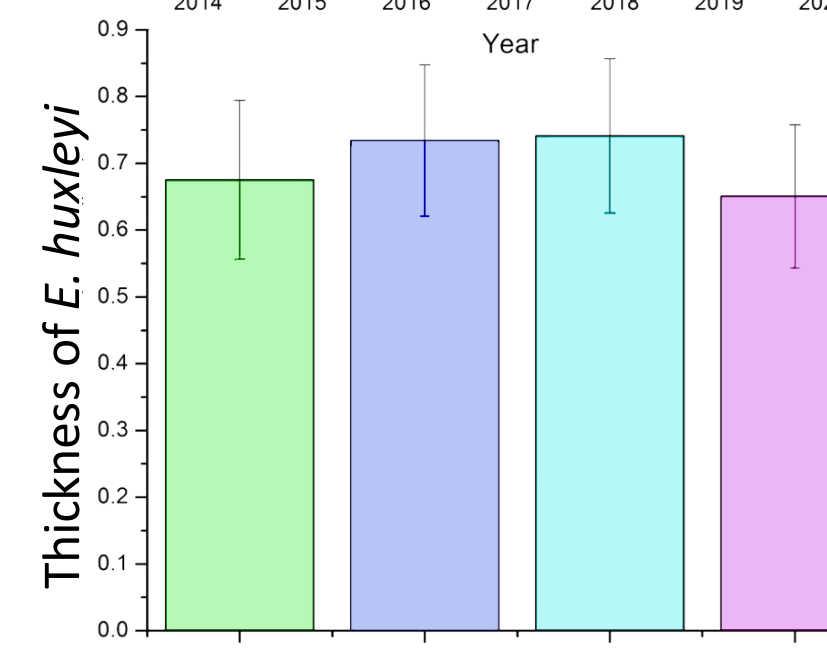
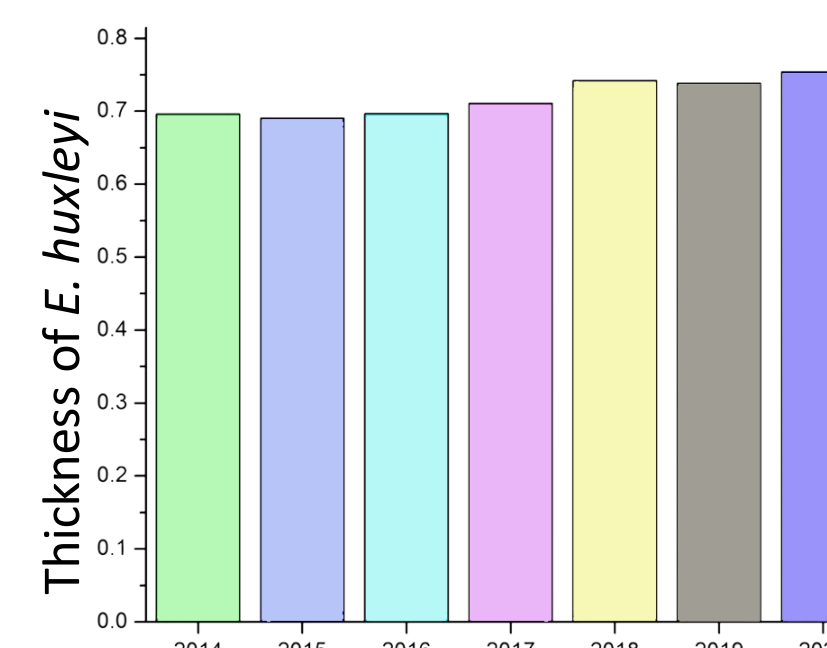
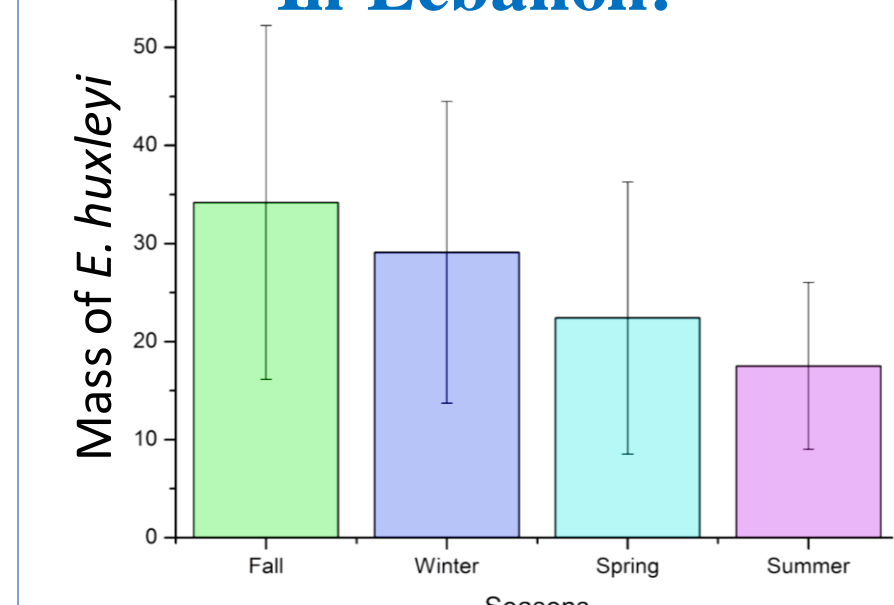
- Phytoplankton (microscopic plant cells)
- Base of the marine trophic chain
- Responsible for oxygen production
- Participate in CO<sub>2</sub> sequestration
- Paleontological tools to evaluate the historical environmental conditions
- Help to understand the environmental trends related to climate change
- Vulnerable towards climate change consequences

## PRELIMINARY RESULTS

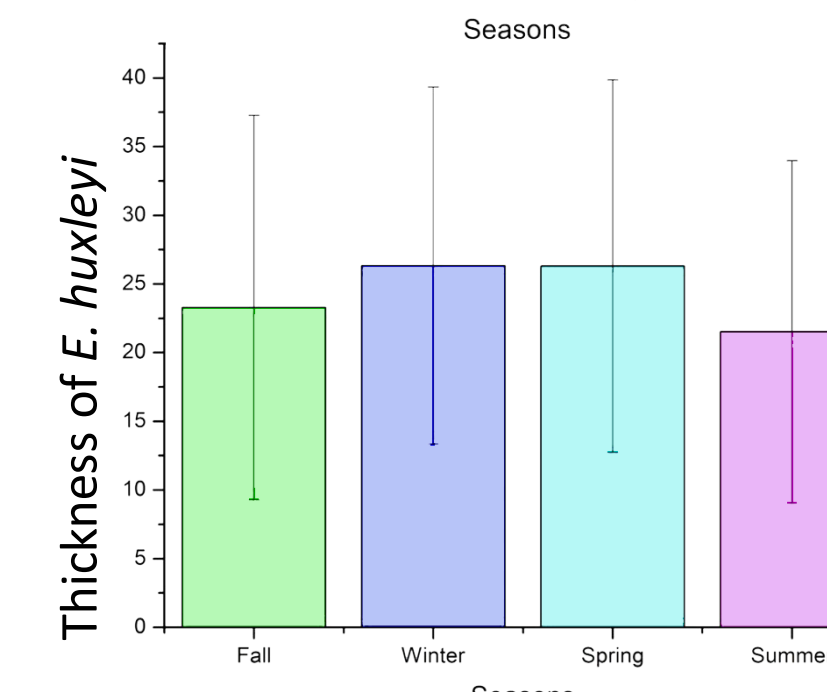
### In France:



### In Lebanon:



21.51 ≤ mass ≤ 26.33 pg  
0.65 ≤ thickness ≤ 0.74 μm



17.5 ≤ mass ≤ 34.18 pg  
0.59 ≤ thickness ≤ 0.71 μm

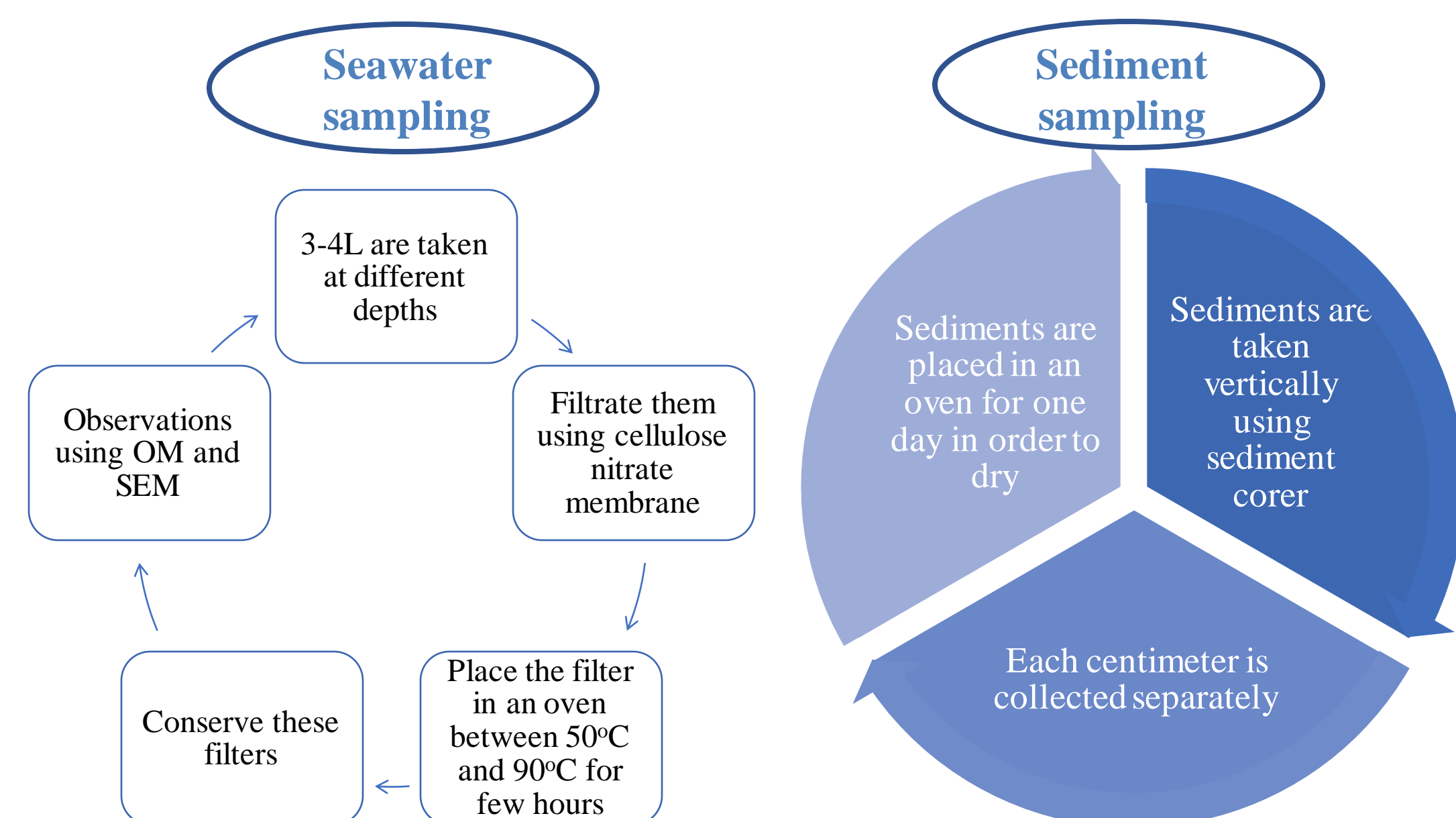
## STUDY AREAS

Samples are taken from the East (Lebanon) and the West (France) of the Mediterranean Sea, in order to compare at the Mediterranean scale.

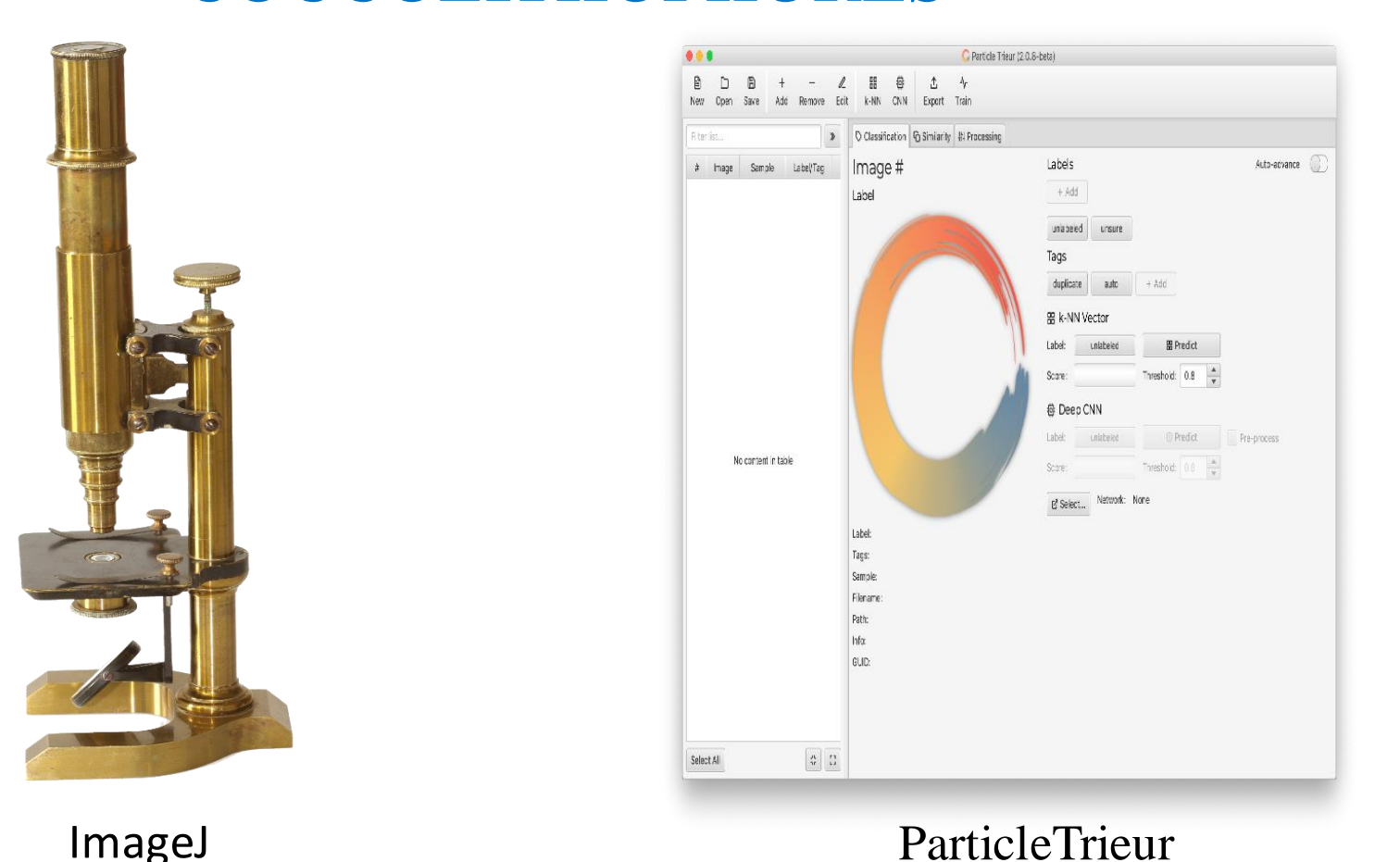


## METHODOLOGY

Our methodology consist of taking 2 types of sampling: sediment and seawater samplings. Samples have been taken from Lebanon since February 2019 until now, whereas for France since 2014.



## AUTOMATED IDENTIFICATION OF COCCOLITHOPHORES



Slides are automatically imaged using an automated optical microscope. About 30-1250 specimens per slide are captured in digital images which include stacking techniques to improve their focus and sharpness. Automated image processing and segmentation is then performed using a custom plugin developed for the ImageJ software. Each coccosphere image is automatically classified by a convolutional neural network (CNN) trained on a coccolithophores database, using the software ParticleTrieur. The trained CNN has an overall accuracy of about 97 %.

## CONCLUSION

These results are obtained for the first time in Lebanon- Eastern of the Mediterranean Sea. Hence, it is very important to know how these calcifying phytoplankton populations react to biogeochemical changes connected to global phenomena such as climate change and to local pressures (e.g. pollution). In addition, plaeo-analyses will be implemented on coccolithophores sediments collected from both the west and east of the Mediterranean Sea in order to better assess the historic and recent impacts of environmental phenomena.

## ACKNOWLEDGEMENT

The authors would like to thank Mr. Elie Tarek, Mr. Hussein Jaber, and Jean-Charles Mazur for helping us during the sampling process in the field and lab. We also appreciate the support of ELME project that financed parts of this work. Finally, we acknowledge financial support and nice hosting from CEREGE, CNRS-L, and Lebanese University.

## REFERENCES

- Beaufort, L., & Heussner, S. (1999). Coccolithophorids on the continental slope of the Bay of Biscay - Production, transport and contribution to mass fluxes. *Deep-Sea Research Part II: Topical Studies in Oceanography*, 46(10), 2147–2174. [https://doi.org/10.1016/S0967-0645\(99\)00058-2](https://doi.org/10.1016/S0967-0645(99)00058-2)
- Beaufort, L., Probert, I., De Garidel-Thoron, T., Bendif, E. M., Ruiz-Pino, D., Metzl, N., ... De Vargas, C. (2011). Sensitivity of coccolithophores to carbonate chemistry and ocean acidification. *Nature*, 476(7358), 80–83. <https://doi.org/10.1038/nature10295>
- Hassoun, A.E.R., Fakhri, M., Raad, N., Abboud-Abi Saab, M., Gemayel, E., & De Carlo, E. H. (2019). The carbonate system of the Eastern-most Mediterranean Sea, Levantine Sub-basin: Variations and drivers. *Deep Sea Research Part II: Topical Studies in Oceanography*. <https://doi.org/10.1016/j.dsr2.2019.03.008>



# Premières estimations de l'impact du mercure sur l'éponge homoscléromorphe de Méditerranée *Oscarella lobularis*

De Pao Mendonca Kassandra<sup>1,2\*</sup>, Borchiellini Carole<sup>1</sup>, Dufour Aurélie<sup>3</sup>, Rocher Caroline<sup>1</sup>, Angeletti Bernard<sup>4</sup>, Heimbürger-Boavida Lars-Eric<sup>3</sup>, Issartel Julien<sup>1</sup>, Renard Emmanuelle<sup>1,2</sup>

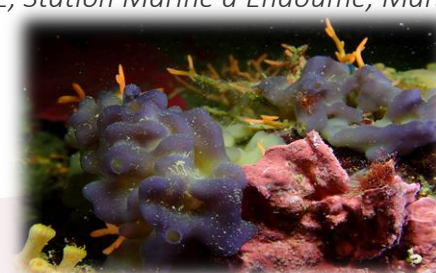
(1) Aix Marseille Univ, Univ Avignon, CNRS, IRD, UMR 7263, Institut Méditerranéen de Biodiversité et d'Ecologie marine et continentale IMBE, Station Marine d'Endoume, Marseille, France

(2) Aix Marseille Univ., CNRS, UMR 7288, IBDM, Marseille, France

(3) Aix Marseille Univ., CNRS, IRD, UMR 7294, MIO, Marseille, France

(4) Aix Marseille Univ., CNRS, CEREGE, Marseille, France

\*Contact auteur: [kassandra.de-pao-mendonca@imbe.fr](mailto:kassandra.de-pao-mendonca@imbe.fr)





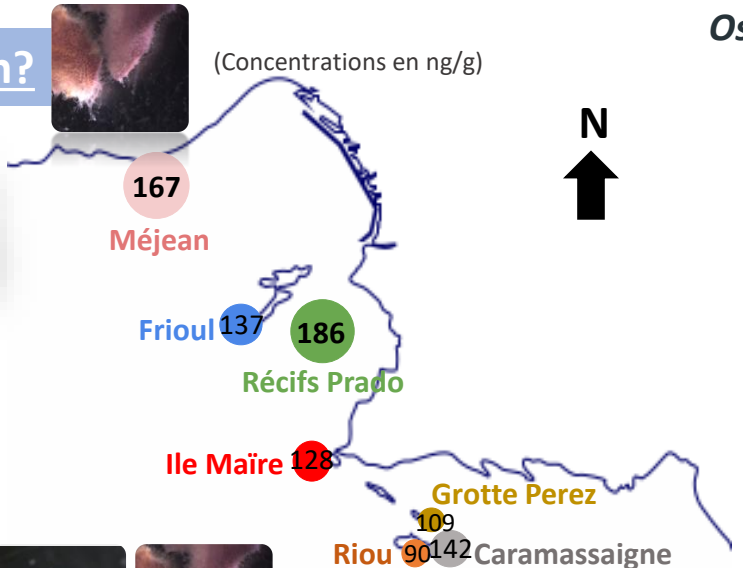
Le mercure est **bioaccumulé** et **bioamplifié** au sein du réseau trophique marin sous sa forme organique et toxique: le **méthylmercure (MeHg)**. Sachant que l'impact sur les vertébrés et la santé humaine est bien documenté, nous nous sommes concentrés sur l'éponge *Oscarella lobularis* (Porifera, Homoscleromorpha), une espèce filtreur habitant le coralligène de la mer Méditerranée, dans la baie de Marseille. **Quel est l'impact du mercure sur**

### 1) Bioaccumulation?



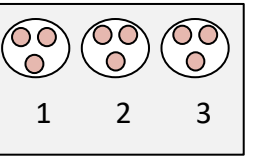
Dosage Hg total:

- 7 sites
- 10 indivs/site
- Répliquats techniques



### *Oscarella lobularis*?

### 2) Bio vulnérabilité?

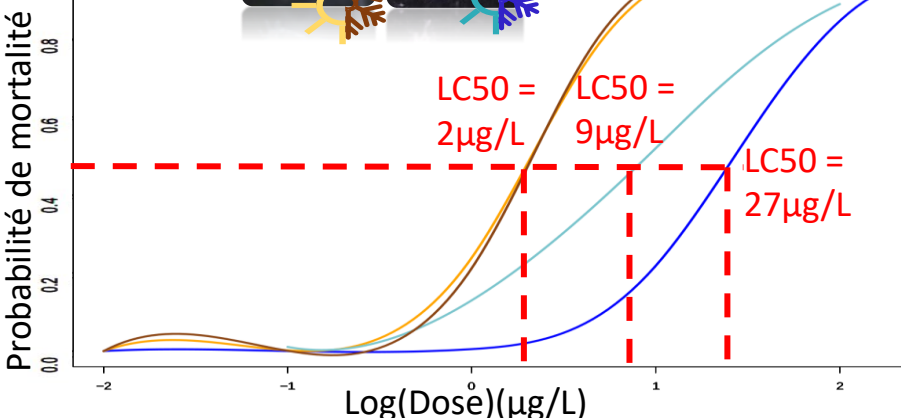


Exposition au Hg 96h :

- 10 [MeHg]
- 3 indivs
- Répliquats techniques



LC50 = 2 $\mu$ g/L      LC50 = 9 $\mu$ g/L      LC50 = 27 $\mu$ g/L



### 3) Détoxification?



Surexpression?      Sous expression?

Expression relative des gènes :

- 6 indivs exposés à 3 [MeHg]
- 3 répliquats techniques
- 12 gènes cibles

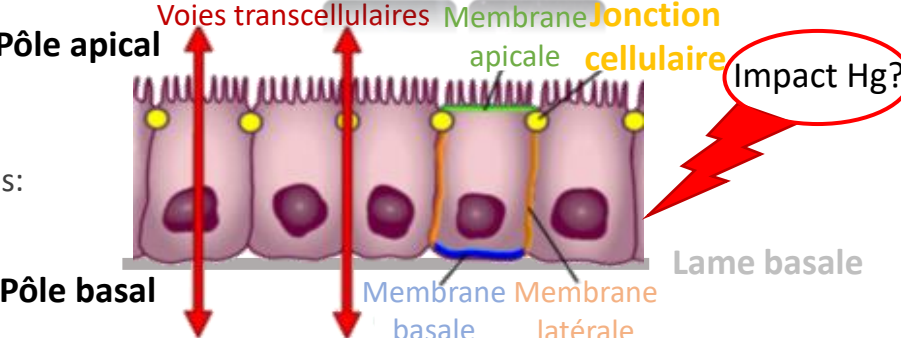


### 4) Intégrité épithéliale?



Observations histologiques:

- 3 indivs exposés à 2 [MeHg]
- Répliquats techniques



Les organismes sessiles du coralligène sont exposés à différentes **quantités de mercure selon leur localisation** dans la baie de Marseille. L'éponge étudiée affiche l'**une des LC50 les plus faibles** chez les invertébrés. La très faible valeur de LC50 et la perte d'intégrité épithéliale observées à des concentrations sublétale au stade du bourgeon sont **préoccupantes** car la reproduction asexuée est le principal processus de reproduction chez cette espèce.

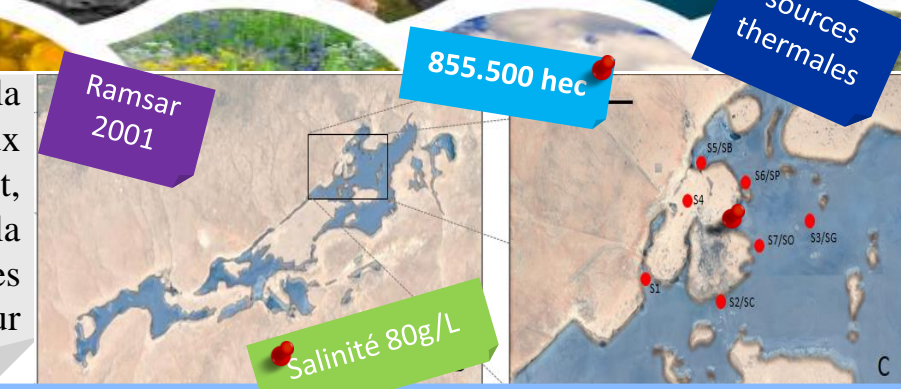


# MESURE DE LA BIODIVERSITE MICROBIENNE DE LA ZONE HUMIDE CHOTT ECH CHERGUI PAR METABARCODING DES GENES ADNr 16S ET COI.

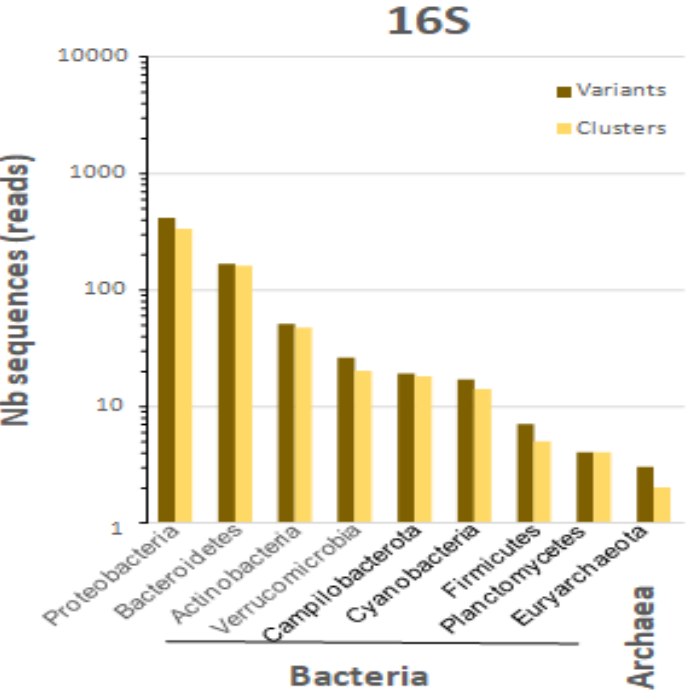
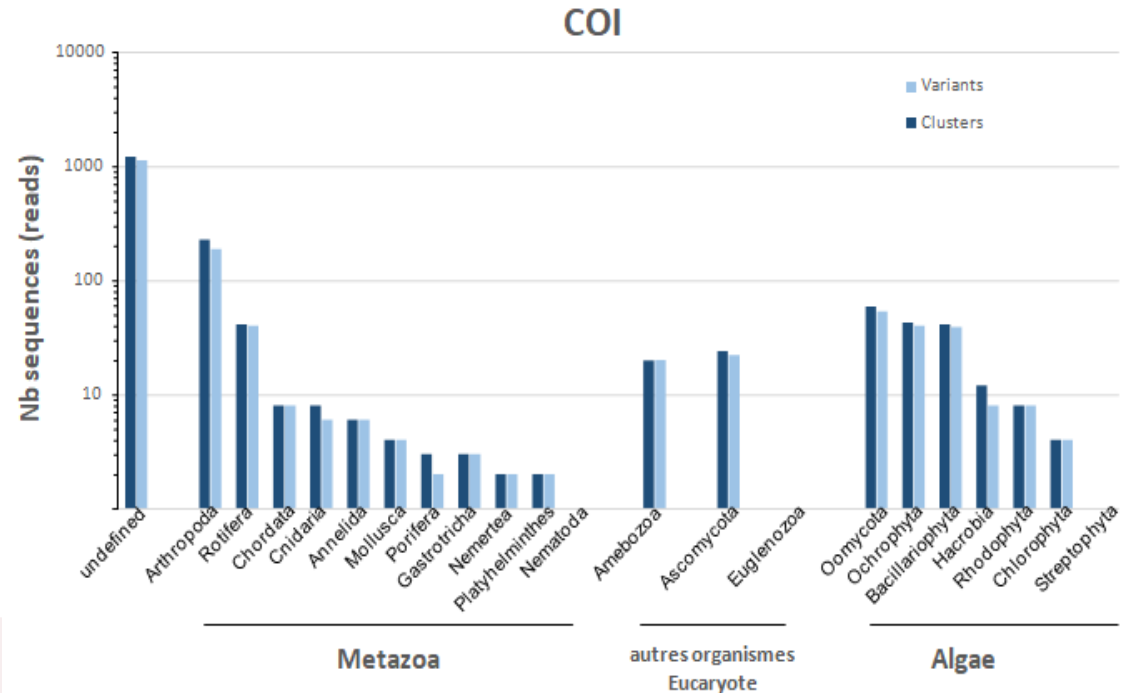
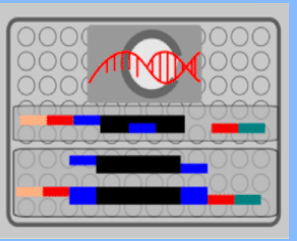
A. Mehirou Zouggar<sup>1-2</sup>, V. Dubut<sup>1</sup>, S.A.C. Lamara<sup>2</sup>, E. Meglecz<sup>1</sup>, S.M.E.A. Abi ayad<sup>2</sup>, P. Mirleau<sup>1</sup>, A. Chenuil<sup>1</sup>

(1) Aix Marseille Université, CNRS, IRD, Avignon Université, IMBE, Marseille, France

(2) Université Oran 1 Ahmed Ben Bella, Laboratoire d'Aquaculture et  
Bioremédiation (AQUABIOR), B.P. 1524 Oran, Algérie



## Méthode



## Discussion & Conclusion

L'analyse des communautés d'organismes eucaryotes et procaryotes du Chott Ech Chergui a mis en évidence la présence d'une biodiversité importante et la capacité de certains organismes à s'adapter aux environnements extrêmes. Cette étude ouvre la voie à l'identification d'organismes particulièrement adaptés aux conditions extrêmes de la zone humide Chott Ech Chergui.

### References DOI:

[10.1111/1755-0998.12703](https://doi.org/10.1111/1755-0998.12703)

<https://doi.org/10.7717/peerj.1047>



# *In situ atmospheric greenhouse gas measurements at the Observatoire de Haute Provence (OHP) ICOS-Fr station (Southern France).*

L. Lelandais<sup>1</sup>, I. Xueref-Remy<sup>1</sup>, A. Riandet<sup>1</sup>, PE. Blanc<sup>2</sup>, M. Delmotte<sup>3</sup>, M. Ramonet<sup>3</sup>, C. Yohia<sup>4</sup>, A. Armengaud<sup>5</sup>

1 : Aix Marseille Univ., Avignon Université, CNRS, IRD, Institut Méditerranéen de Biodiversité et d'Ecologie Marine et Continentale (IMBE), Marseille, France

2: Observatoire de Haute Provence, OSU PYTHEAS, France

3 : Université Paris-Saclay CEA-CNRS-UVSQ, Laboratoire des Sciences du Climat et de l'Environnement, UMR 8212, Gif-sur-Yvette, France

4: Service Informatique PYTHEAS, OSU PYTHEAS, France

5 : AtmoSud: Observatoire de la Qualité de l'air en Région Sud Provence Alpes Côte d'Azur, le Noilly Paradis, 146 Rue Paradis, 13294, Marseille, France

## Introduction :

Anthropogenic greenhouses gases (GHGs) are causing severe changes on the Earth climate. The ICOS-FRANCE GHG monitoring national network owns one station located in the SE of France (Fig 1), the **OHP station**, settled in a white oak forest. OHP has been recording continuously CO<sub>2</sub>, CH<sub>4</sub> and CO concentrations since 2014, on a 100 m tower. Tall towers are an efficient way to monitor in situ GHG concentration at regional and local scales.

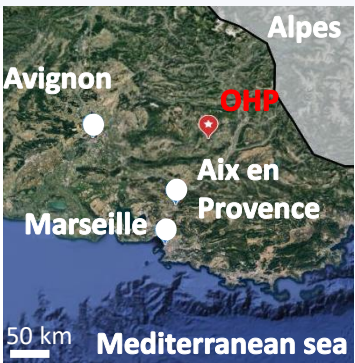


Fig 1 : ICOS-France OHP station location

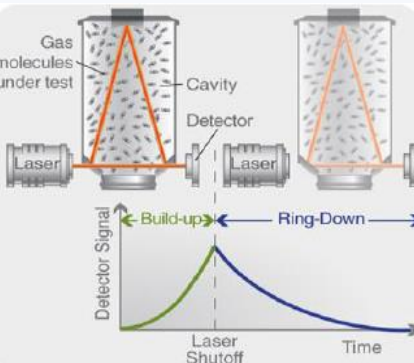


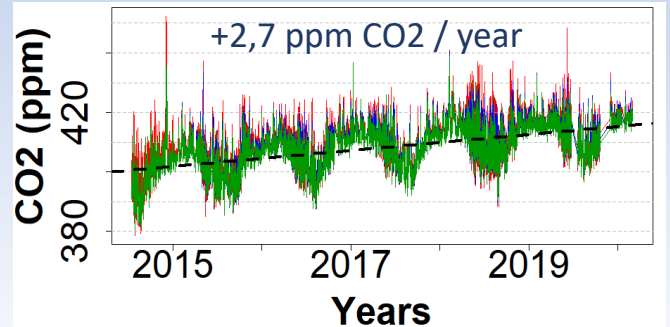
Fig 2 : Principle of Cavity Ring down spectroscopy (CRDS) (Picarro, Inc.).

## Materials and methods :

- CO<sub>2</sub>, CH<sub>4</sub> and CO concentration by CRDS (Fig.2) and Meteorological parameters at each levels from July 2014 to March 2020
- O<sub>3</sub>, aerosols (PM10  $\mu\text{m}$  and PM2,5  $\mu\text{m}$ ) at 5m AGL (performed by ATMOSUD)
- Quality and calibration process consistent with international scale (WMO)

[1] : NOAA : <https://www.noaa.gov/> ; [2] Conil, S., Helle, J., Langrene, L., Laurent, O., Delmotte, M., and Ramonet, M.: Continuous atmospheric CO<sub>2</sub>, CH<sub>4</sub> and CO measurements at the Observatoire Pérenne de l'Environnement (OPE) station in France from 2011 to 2018, Atmos. Meas. Tech., 12, 6361–6383, <https://doi.org/10.5194/amt-12-6361-2019>, 2019.

Fig 3 : CO<sub>2</sub> times series at 10m (red), 50m (blue) 100m (green)



## Multi-annual evolution :

- Positive rise of CO<sub>2</sub> and CH<sub>4</sub>  
 $2,7 \pm 0,8 \text{ ppmCO}_2/\text{yr}$   
 $7,8 \pm 3,3 \text{ ppbCH}_4/\text{yr}$  (not shown)
- Congruent with global growth rate [1]  
 $2,6 \pm 0,09 \text{ ppmCO}_2/\text{year}$   
 $8,2 \pm 0,56 \text{ ppbCH}_4/\text{year}$

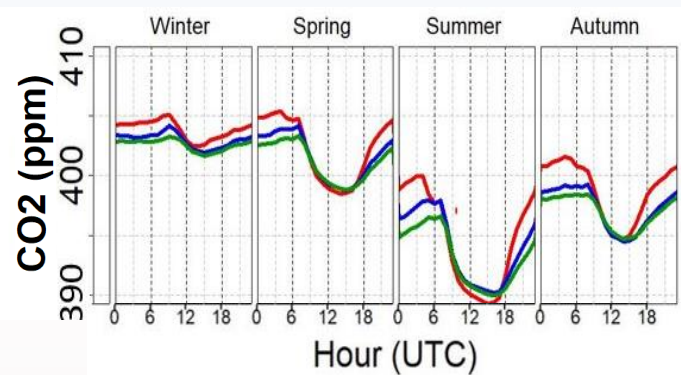


Fig 4 : CO<sub>2</sub> Diurnal and seasonal cycle at OHP ( color see Fig 3 )

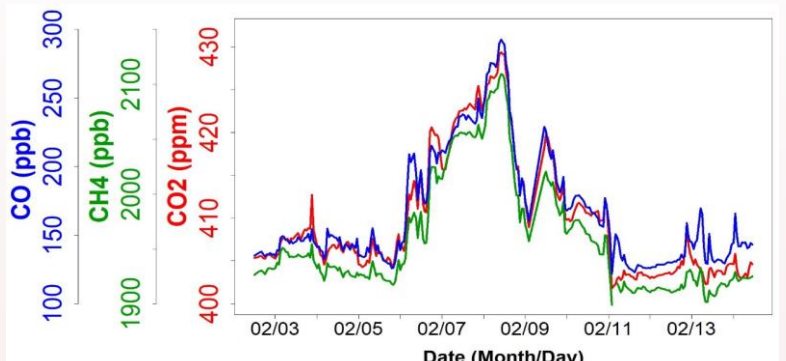


Fig 5 : A synoptic spike for CO<sub>2</sub> (red), CO (blue) and CH<sub>4</sub> (green)

## Synoptic events :

- 3 hours > Threshold
- 300 – 500 events  
~ 15% of data  
(for each species)
- Two Causes  
Anthropogenic plumes  
Accumulation of local pollutions



Fig 6 : Photography of the OHP tower

## Conclusion :

Mean atmospheric growth rate, diurnal and seasonal variations are congruous with other ICOS rural stations [2]. Anthropogenic influence is seen on 20% of the data.

This study will serve for the second part of my PhD : Exploring the impact of anthropogenic emissions on CO<sub>2</sub> in an urban area, using OHP as a background site : **Road to Marseille !**



# Physico-chemical defenses of *Quercus pubescens* to recurrent drought conditions *in natura*

J. Laoué<sup>1</sup>, M. Havaux<sup>2</sup>, B. Ksas<sup>2</sup>, S. Dupouyet<sup>1</sup>, J.P. Orts<sup>1</sup>, A. Tonetto<sup>3</sup>, S. Boularand<sup>3</sup>, C. Fernandez<sup>1</sup>, E. Ormeno<sup>1</sup>

<sup>1</sup> Aix Marseille Univ, Univ Avignon, CNRS, IRD, IMBE, Marseille France

<sup>2</sup> CEA Cadarache, CNRS UMR 7265 BVME, Aix-Marseille University, Laboratoire d'Ecophysiologie Moléculaire des Plantes, Saint-Paul-lès-Durance, France

<sup>3</sup> Pôle PRATIM, Fédération Sciences chimiqueMarseille. Aix-Marseille Université, Marseille, France



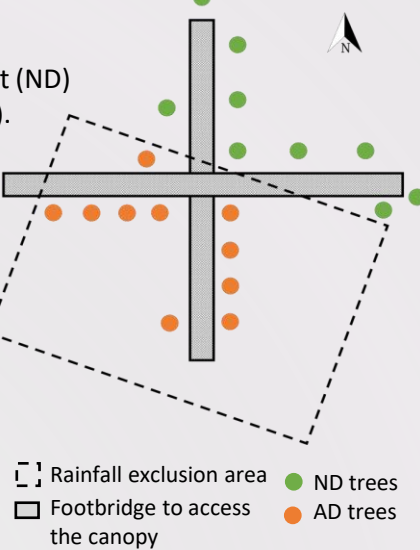
## Context

In the Mediterranean region, climate change will increase drought episodes marked by a decrease in annual rainfall of about 30% by the end of the 21<sup>st</sup> century. In this context, it is important to understand plants adaptation strategies to drought.

The aim of this PhD is to characterize leaf morpho-metabolic strategies of *Quercus pubescens* to cope with recurrent long-term water deficit.

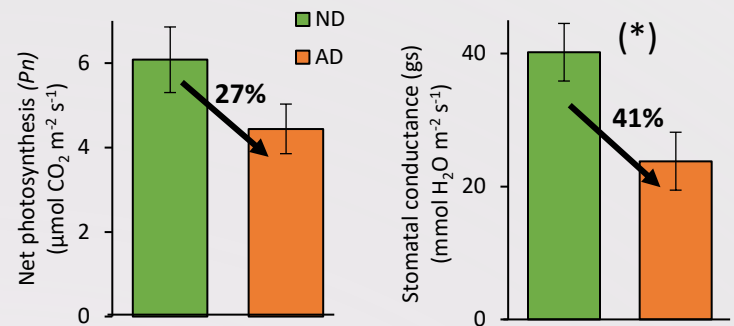
## Methods

- Monitoring of 10 trees per treatment : natural drought (ND) and amplified drought (AD).
- Measurements of physiological, morphological and chemical traits of leaves.



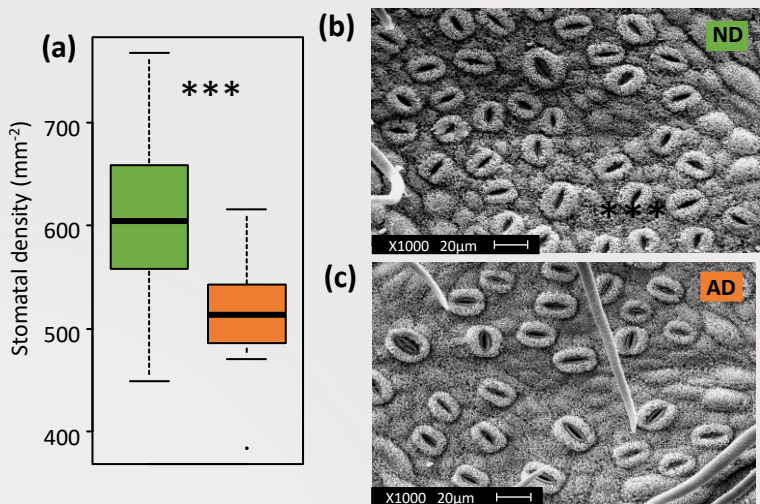
**Figure 1:** Dynamic rainfall exclusion system (~30% of annual precipitation) implemented in May 2012 at O<sub>3</sub>HP (Oak Observatory at the Observatory of Haute Provence, Saint-Michel-l'Observatoire).

## Results and discussion (1)



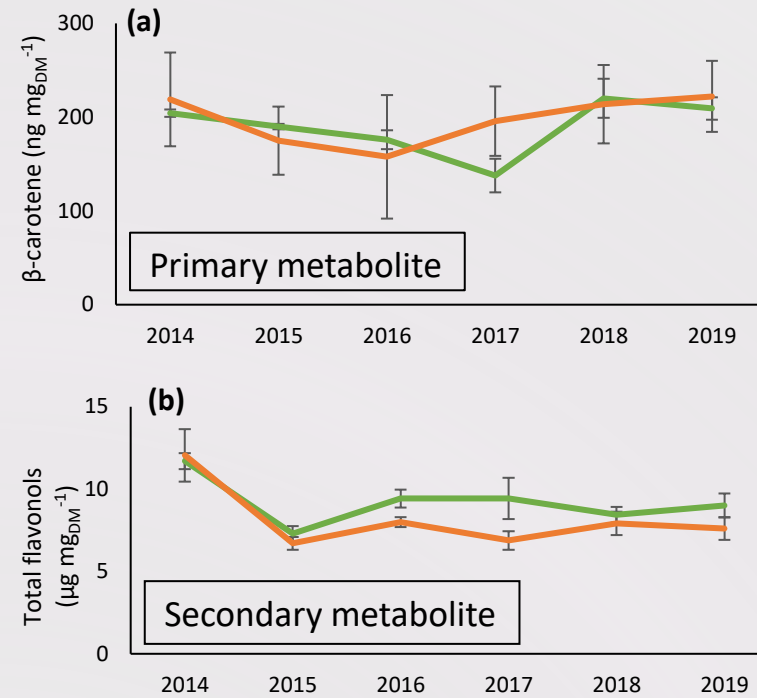
**Figure 2:** Leaf gas exchange parameters of *Q. pubescens* measured in July 2020. Values are mean  $\pm$  SE, n=10.

→ Amplified drought tends to affect trees physiology by decreasing net photosynthesis ( $Pn$ ) ( $p=0.118$ ) and stomatal conductance ( $gs$ ) ( $p=0.089$ ).



**Figure 3:** Stomatal density shown in (a) a boxplot ( $p=0.0007$ ) (n=10) and by scanning electron microscopy of *Q. pubescens* abaxial leaf surface in (b) ND and (c) AD in July 2020.  
→ Amplified drought leads to micro-morphological modification with a decrease in stomatal density.

## Results and discussion (2)



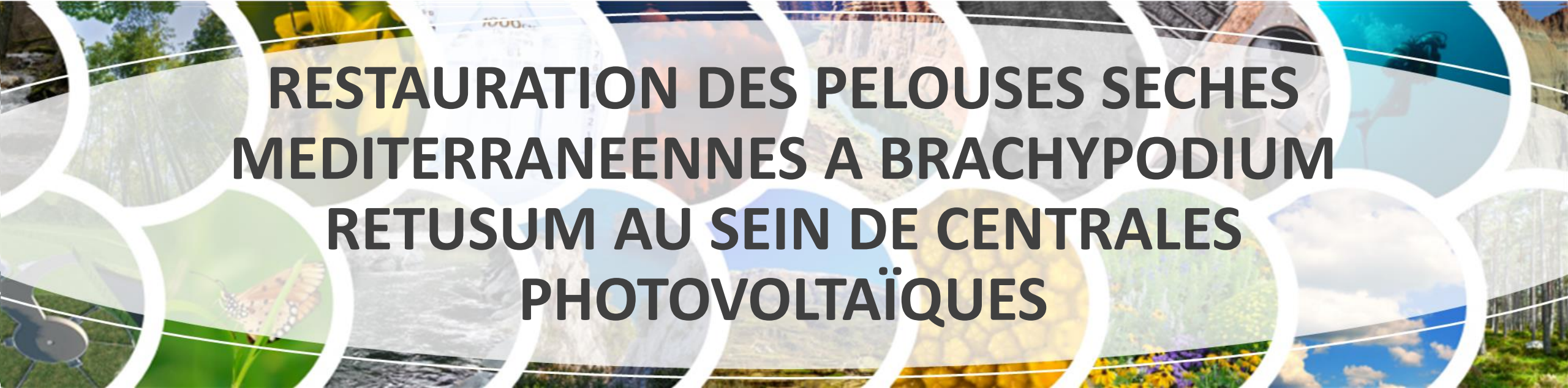
**Figure 4:** Leaf concentrations of (a)  $\beta$ -carotene and (b) total flavonols in July 2020. Values are mean  $\pm$  SE, n=5.

→ Amplified drought tends to modify metabolic profile of trees.

## Conclusion

Long-term amplified drought in Mediterranean region leads to:

- A decrease of leaf gas exchange ( $Pn$  and  $gs$ ).
- A decrease in stomatal density which limits  $gs$  but reduces water loss.
- A decreased in secondary metabolism production (flavonols),
- Probably compensated by an increase in primary metabolism ( $\beta$ -carotene) to fight oxidative stress (to be confirmed).



# RESTAURATION DES PELOUSES SECHES MEDITERRANEENNES A BRACHYPODIUM RETUSUM AU SEIN DE CENTRALES PHOTOVOLTAÏQUES

Q. Lambert<sup>1</sup>, R. Gros<sup>1</sup>, A. Bischoff<sup>1</sup>

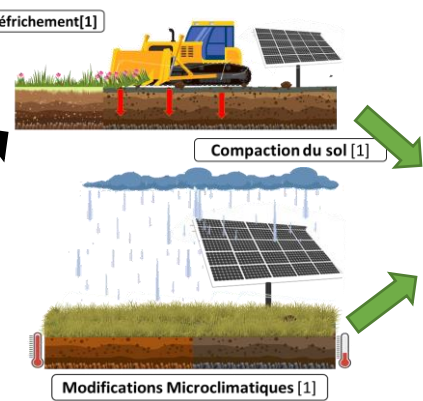
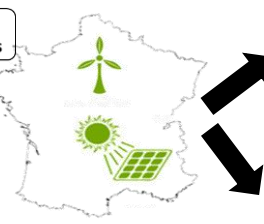
<sup>1</sup> (Aix-Marseille Université, Université d'Avignon, CNRS, IRD, Institut Méditerranéen  
de Biodiversité et d'Ecologie (IMBE), Marseille, France)



## Contexte

Energies Renouvelables

32% 2030



Nécessité : Intégration écologique des centrales dans l'environnement par la restauration écologique

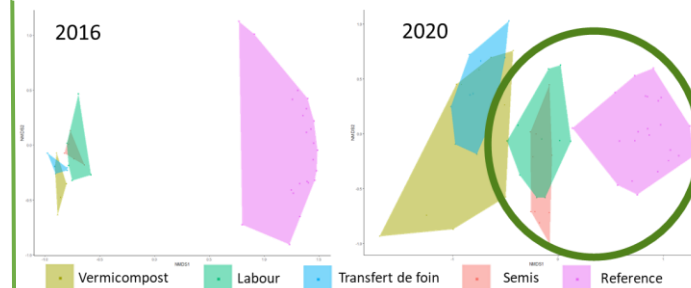


### Questions de recherches :

- Quelles techniques de restauration facilitent le rétablissement des communautés végétales naturelles et ne compromettent pas la production d'énergie ?
- Les panneaux solaires (PV) affectent-ils la performance et la restauration des plantes ?

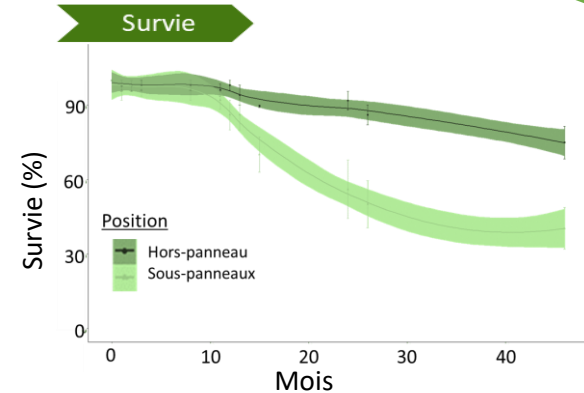
## Résultats & discussion

### Communautés végétales



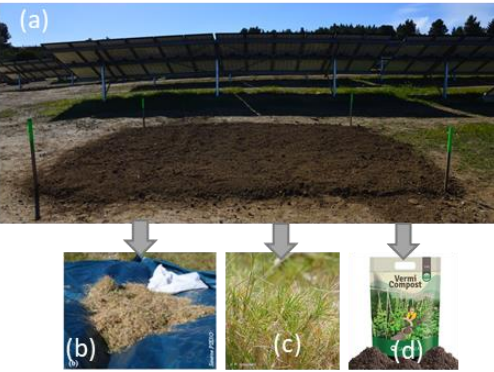
#### Après 4 ans :

- ✓ Pas d'influence des PV sur la restauration écologique (données non montrées).
- ✓ Le transfert de foin et les semis étaient les plus efficaces pour établir l'écosystème de référence [2]



- Après 13 mois, la mortalité significativement plus forte SP
- Les jeunes plantules sont moins sensibles à une faible disponibilité de lumière limitantes pour les plants adultes.

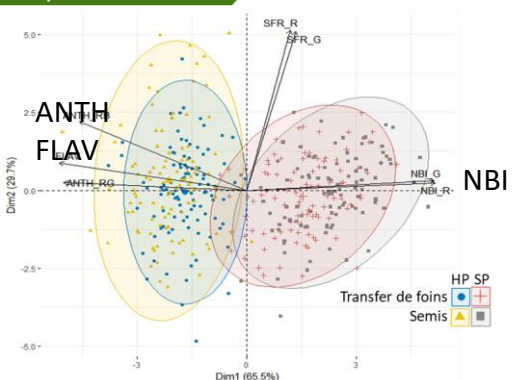
## Méthodes



### Paramètres mesurés:

- La couverture végétale de toutes plantes vasculaires a été estimée dans tous les traitements.
- Suivie de la **survie de *B. retusum*** sur 10 individus pour le **transfert de foin**
- 4 phytométabolites mesurés à l'aide d'un Multiplex 3000 sur les feuilles de 10 individus *B. retusum*

### Phytométabolites



- Les flavonoïdes et anthocyanes étaient plus élevés, l'indice de bilan azoté était plus faible HP
- Une plus faible disponibilité de la lumière réduit la teneur en flavonoïde et en anthocyanes des feuilles [3]

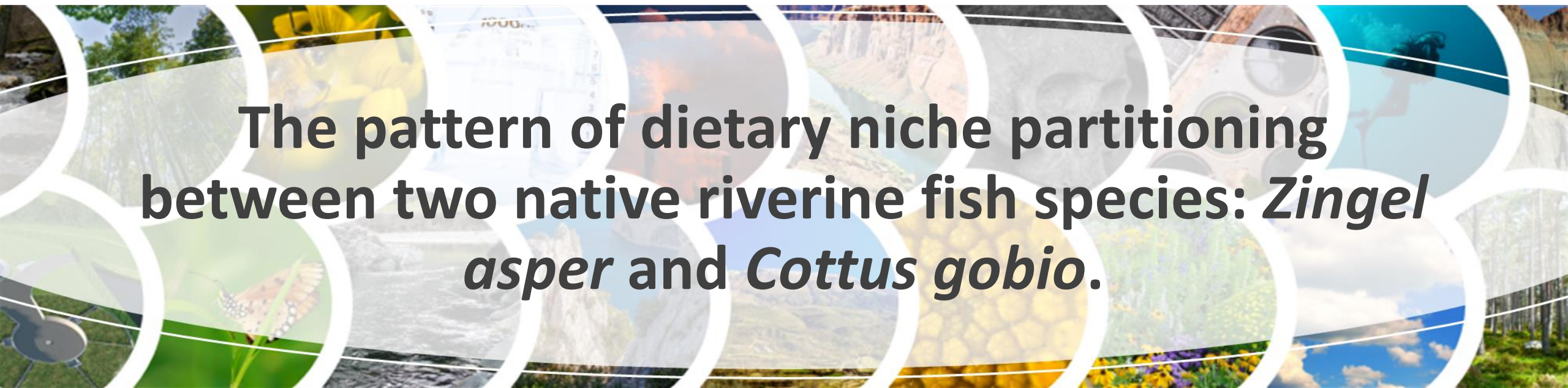
## 4 techniques de restauration initiées en 2016 :

- (a) Labour
- (b) Labour + Transfert de foin de la communauté de référence
- (c) Labour + semis de *B. retusum*
- (d) Labour + apport de Vermicompost

- Testées hors (HP) et sous panneaux (SP)
- 5 répliques → dispositif splitblock : 40 placettes (4m<sup>2</sup>)

## Conclusions

- Le transfert de foin et le semis de *B. retusum* ont tous deux réussi à accélérer la succession végétale vers la communauté de référence.
- Les panneaux solaires ont augmenté la mortalité de *B. retusum* et les changements physiologiques indiquant un stress dû à un déficit lumineux. Ces résultats suggèrent un changement futur de la structure de la communauté.
- Des observations sur le sols sont nécessaires pour évaluer les conséquences des panneaux solaires sur celui-ci



# The pattern of dietary niche partitioning between two native riverine fish species: *Zingel asper* and *Cottus gobio*.

K. Villsen<sup>1</sup>, E. Corse<sup>1,2,3</sup>, E. Meglécz<sup>1</sup>, G. Archambaud-Suard<sup>4</sup>,  
A. V. Ereskovsky<sup>1,5</sup>, R. Chappaz<sup>4</sup>, V. Dubut<sup>1</sup>

<sup>1</sup> Aix Marseille Université, CNRS, IRD, Avignon Université, IMBE, Marseille, France

<sup>2</sup> Centre Universitaire de Mayotte, Dembeni, Mayotte, France

<sup>3</sup> MARBEC, Univ Montpellier, CNRS, Ifremer, IRD, Montpellier, France

<sup>4</sup> INRAE, Aix Marseille Université, RECOVER, Aix-en-Provence, France.

<sup>5</sup> St. Petersburg State University, St. Petersburg, Russia

# How similar is the trophic niche and habitat-use of *Z. asper* and *C. gobio*?

## CONTEXT:

- Species that occupy similar ecological niches can negatively affect one another by competing for preferred resources or habitats.
- Inter-specific competition can lead to species extinction, and is therefore important to consider for conservation management.
- Zingel asper* and *Cottus gobio* are 2 freshwater fish species that coexist in the Rhône river basin and share a similar ecological niche

## OBJECTIVES:

We aimed to determine the extent of **trophic niche** and **habitat-use partitioning** between *Z. asper* and *C. gobio* and thus the potential of inter-specific competition. This study partially fulfils the objectives of a national conservation program for *Z. asper* (PNA II).

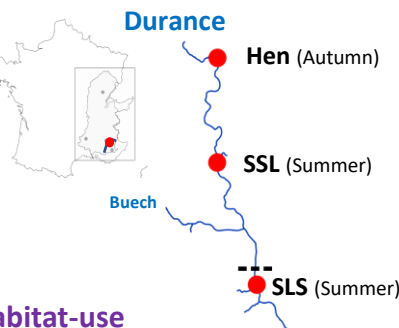
### Two distinct approaches:

#### Trophic niche

Taxonomic approach

#### Habitat-use

Functional approach



### Estimating trophic niche and habitat-use

#### Diet

~60 per site

#### Prey community

[40:90] per site

#### Habitat

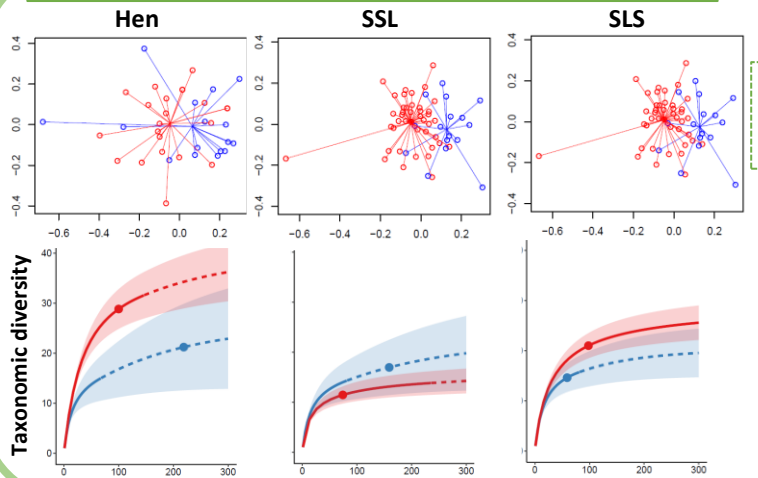
[40:90] per site

River height  
Silting  
Water speed  
Sediment granulometry  
Vegetal development

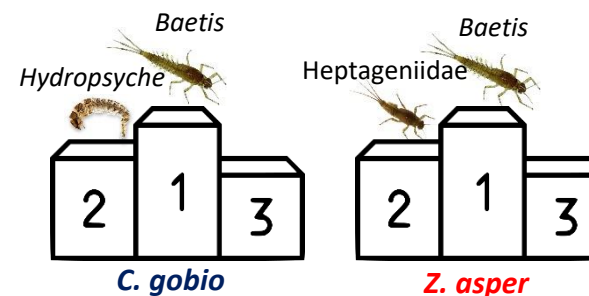
#### Trophic niche

#### Habitat-use

Trophic niches are very similar between species.  
Despite small differences



Both species strongly selected *Baetis* prey but some differences were found in secondary prey preferences

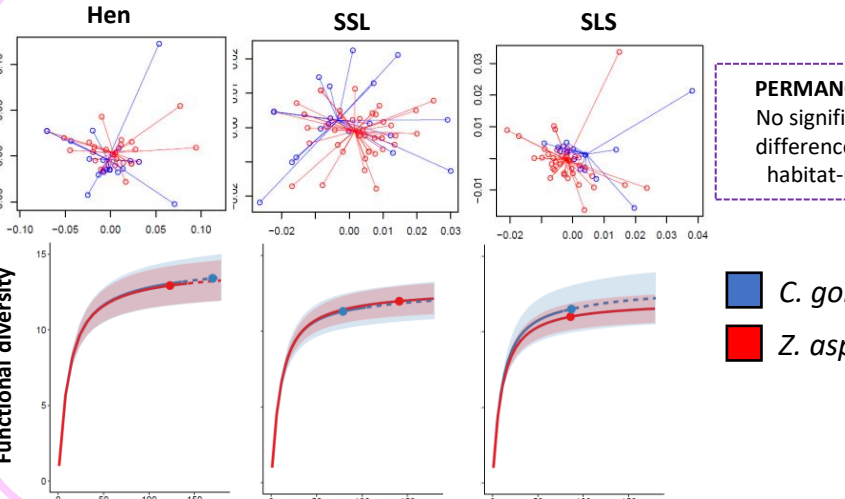


## CONCLUSION:

- Despite minor differences in trophic niche width and prey preferences, both species exhibited a high degree of **trophic overlap in all sites**.
- By relating diet to the habitat preferences of prey we demonstrated that *Z. asper* and *C. gobio* use essentially the **same diversity and types of habitat**.

Overall, our results indicate that *Z. asper* and *C. gobio* share very similar ecological niches, both in terms of diet and habitat-use. It is therefore likely that these species experience inter-specific competition to some extent. The degree of competition will depend on the availability of preferred prey and habitat.

Both species use the same diversity and types of habitats





# Impact sanitaire des poussières de sol dans des écoles maternelles

R. Castel<sup>1,2</sup>, Y. Noack<sup>3</sup>, V. Tassistro<sup>1</sup>, F. Marot<sup>4</sup>, M. Izard<sup>5</sup>, L. Malleret<sup>2</sup>, T. Orsière<sup>1</sup>

<sup>1</sup> IMBE, <sup>2</sup> LCE, <sup>3</sup> CEREGE, <sup>4</sup> ADEME, <sup>5</sup> AtmoSud

**CONTEXTE**

### Qu'est-ce qu'une poussière?

Anthropique

Naturel

ETM = Eléments Trace Métalliques  
HAP = Hydrocarbures Aromatiques Polycycliques  
→ Ubiquitaires et génotoxiques

### Pourquoi enfants < 6 ans?

Inhalation

Ingestion

Cutané

Ingestion involontaire : 20-100 mg/jour

**OBJECTIFS**

### Cyto-genotoxicité des ETM et HAP bioaccessibles en mélanges dans les poussières

**METHODOLOGIE**

Prélèvement dans 3 à 6 écoles maternelles des Bouches-du-Rhône (13) localisées dans différents contextes

Caractérisation physico-chimique  
Discrimination des sources de contamination

Bioaccessibilité: extraction imitant le système digestif

- Développement de méthode

Toxicité *in vitro* sur cellules gastriques  
Etude des cassures à l'ADN et de lésions chromosomiques

Test du micronoyau *in vitro* avec blocage de la division cellulaire

Test des comètes



# Vulnérabilité des arbres des milieux arides chauds face au changement climatique futur

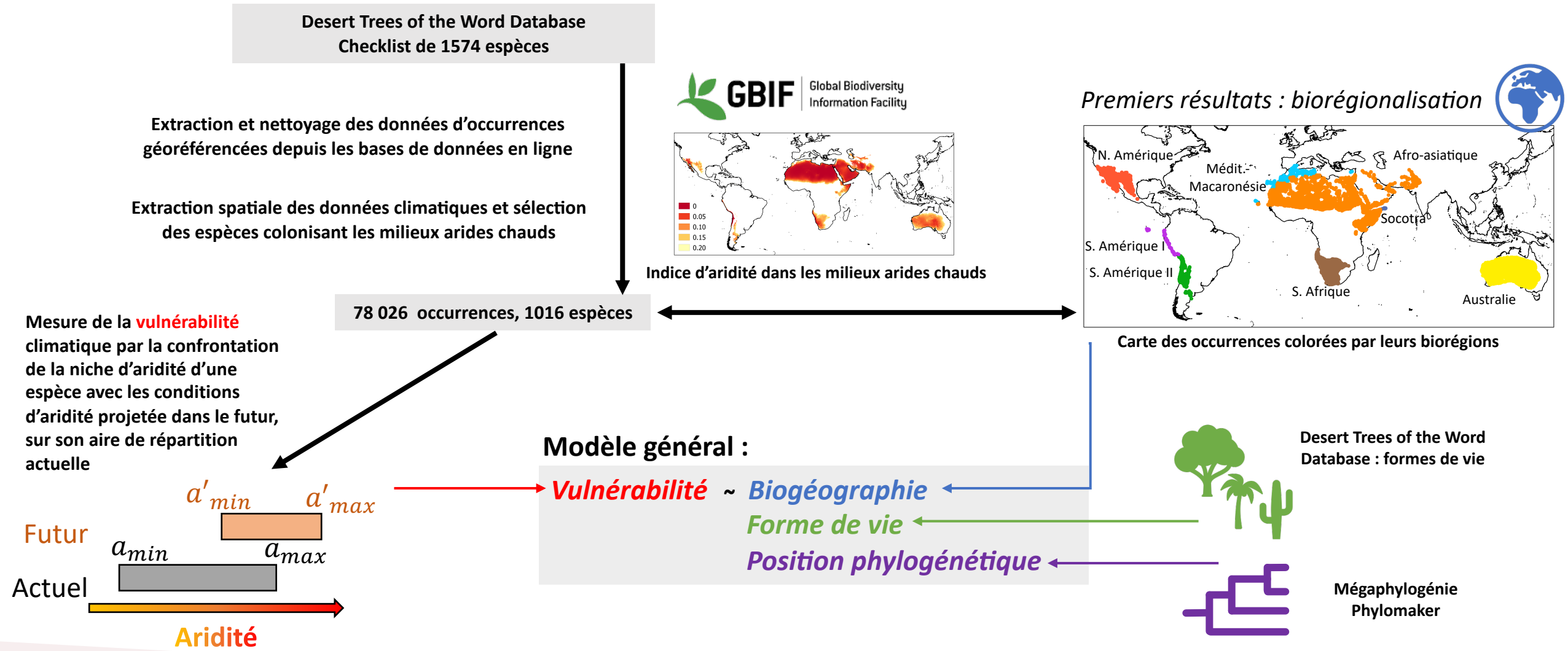
M. Cartereau<sup>1,2</sup>, A. Baumel<sup>2</sup>, A. Leriche<sup>1</sup>, F. Médail<sup>1</sup>

<sup>1</sup>Aix Marseille Univ, Avignon Université, CNRS, IRD, IMBE, Aix-en-Provence, France

<sup>2</sup>Aix Marseille Univ, Avignon Université, CNRS, IRD, IMBE, Marseille, France



Quelle est la vulnérabilité climatique des espèces d'arbres dans les milieux arides chauds face au changement climatique futur ?  
Quels sont les effets de la biogéographie, de l'évolution biologique et des formes de vie ?





# L'acclimatation aux changements climatiques de trois arbres méditerranéens ne passe pas par des ajustements de leurs propriétés hydrauliques.

M. Moreno<sup>1, 2</sup>, G. Simioni<sup>1</sup>, JM. Limousin<sup>3</sup>, J. Rodriguez-Calcerrada<sup>4</sup>, J. Ruffault<sup>1</sup>, H. Cochard<sup>5</sup>, J. Torres-Ruiz<sup>5</sup>, S. Delzon<sup>6</sup>, A. Tournant<sup>1</sup>,  
PJ. Dumas<sup>1</sup>, N. Martin-StPaul<sup>1</sup>

<sup>1</sup> INRAE, URFM, Domaine Saint Paul, Centre de recherche PACA, 228 route de l'Aérodrome, CS 40509, Domaine Saint-Paul, Site Agroparc, France.

<sup>2</sup> Agence de la maîtrise de l'énergie et de l'environnement 20, avenue du Grésillé- BP 90406 49004 Angers Cedex 01 France.

<sup>3</sup> CEFE, Univ. Montpellier, CNRS, EPHE, IRD, Univ. Paul Valéry Montpellier 3, Montpellier, France.

<sup>4</sup> Departamento de Sistemas y Recursos Naturales, Escuela Técnica Superior de Ingeniería de Montes, Forestal y del Medio Natural, Universidad Politécnica de Madrid. Ciudad Universitaria s/n, 28040, Madrid, Spain.

<sup>5</sup> Université Clermont Auvergne, INRAE, PIAF, 63000 Clermont-Ferrand, France.

<sup>6</sup> INRAE, BioGeCo, Université de Bordeaux, 33615 Pessac, France.



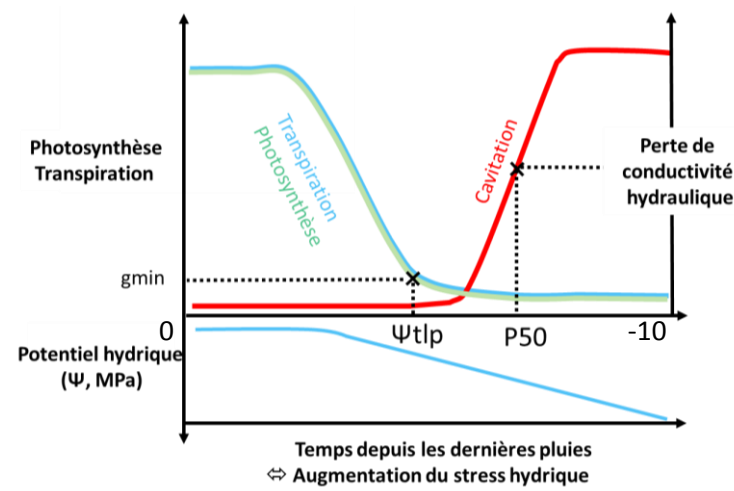
## Contexte :

*Changements climatiques* → *Intensification des sécheresses*

Dépérissements suite à de fortes sécheresses (Allen et al. 2010).

Embolie xylème (McDowell et al. 2008, Choat et al. 2018)

Réponse des plantes à la sécheresse



**Les plantes sont-elles capables d'ajuster ces traits dans un contexte de sécheresses intensifiées ?**

## Matériel et méthodes :

Puéchabon



Chêne vert

Font-blanche



Chêne vert / Pin d'Alep

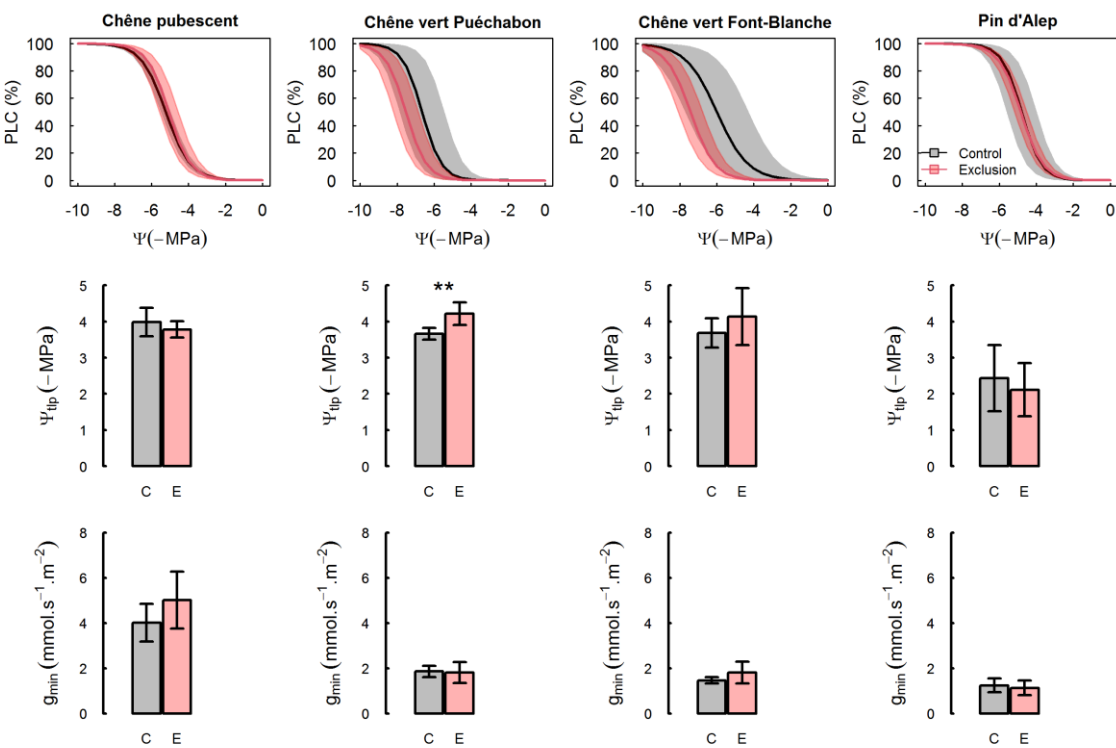
O<sub>3</sub>HP



Chêne pubescent

Exclusion ~ 30 % des précipitations

## Résultats :



## Conclusion :

Pas ou peu d'ajustement (trait fixes)

→ Acclimatation dépend d'autres traits : LA/racines  
(Brunner et al. 2015, Limousin et al. 2009)



Merci à tous pour votre participation

Le comité d'organisation du congrès EDSE 2021

15-16 avril 2021